

APPENDICE

DETTAGLI RISULTATI PROVE DI LABORATORIO

A.1 PESO SPECIFICO G_s

Picnometro n°:	5 - 100 ml	7 - 100 ml
Peso campione secco + tara [g]:	90,9544	91,8940
Peso tara [g]:	88,6377	89,5325
Peso campione secco [g]:	2,3167	2,3615
Peso picnometro + acqua a T° [g]:	140,1503	141,8271
Peso picnometro + acqua + campione secco [g]:	142,4670	144,1886
Peso picnometro + acqua + campione [g]:	141,6817	143,3905
Volume del campione [cm ³]:	0,7853	0,7981
Temperatura [°C]:	24,3	24,3
Peso specifico dei grani G _s [g/cm ³]:	2,9499	2,9590
Peso specifico dei grani G _s (20°C) [-]:	2,9470	2,9560
Peso specifico medio dei grani G _s (20°C) [-]:	2,952	

Tab. A.1 – Dettagli prova per la determinazione del peso specifico mediante picnometri, illite

Picnometro n°:	5 - 100 ml	7 - 100 ml
Peso campione secco + tara [g]:	101,2672	100,5994
Peso tara [g]:	89,7906	88,2574
Peso campione secco [g]:	11,4767	12,3420
Peso picnometro + acqua a T° [g]:	140,1428	141,8170
Peso picnometro + acqua + campione secco [g]:	151,6194	154,1590
Peso picnometro + acqua + campione [g]:	147,4123	149,6407
Volume del campione [cm ³]:	4,2071	4,5183
Temperatura [°C]:	24,6	24,7
Peso specifico dei grani G _s [g/cm ³]:	2,7279	2,7315
Peso specifico dei grani G _s (20°C) [-]:	2,7250	2,7286
Peso specifico medio dei grani G _s (20°C) [-]:	2,727	

Tab. A.2 – Dettagli prova per la determinazione del peso specifico mediante picnometri, bentonite

A.2 LIMITI DI ATTERBERG

A.2.1 LIMITI LIQUIDI ILLITE

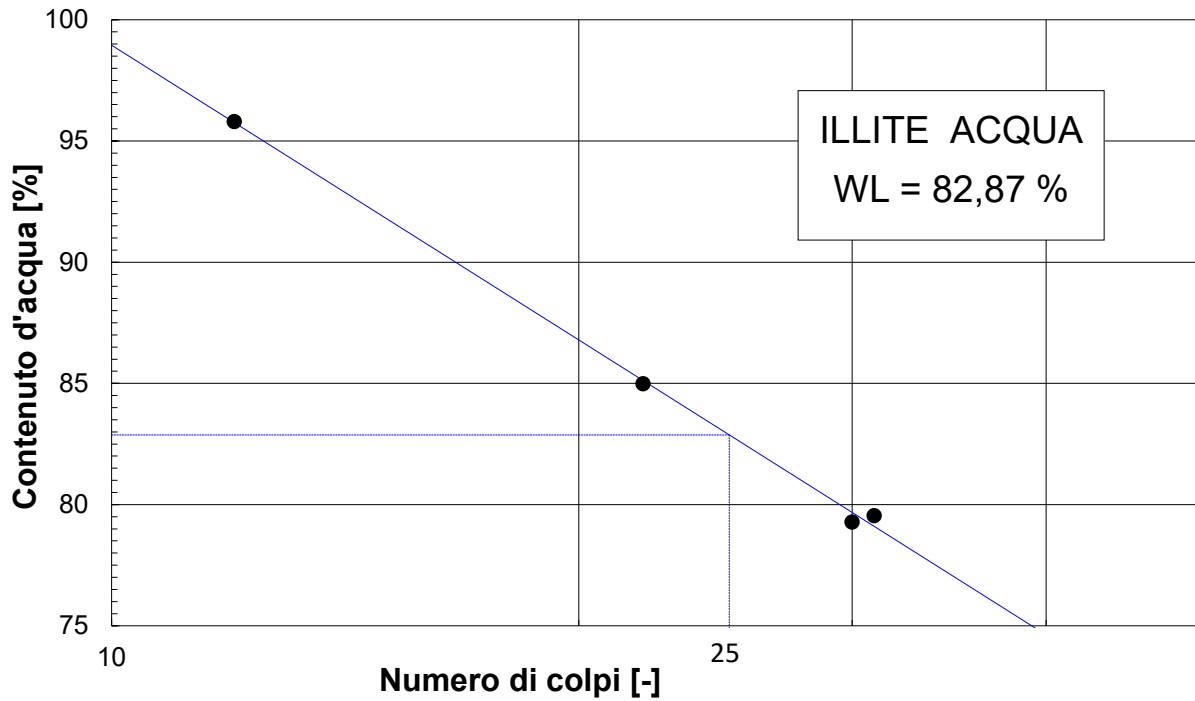


Fig. A.1 - limite liquido illite - acqua distillata

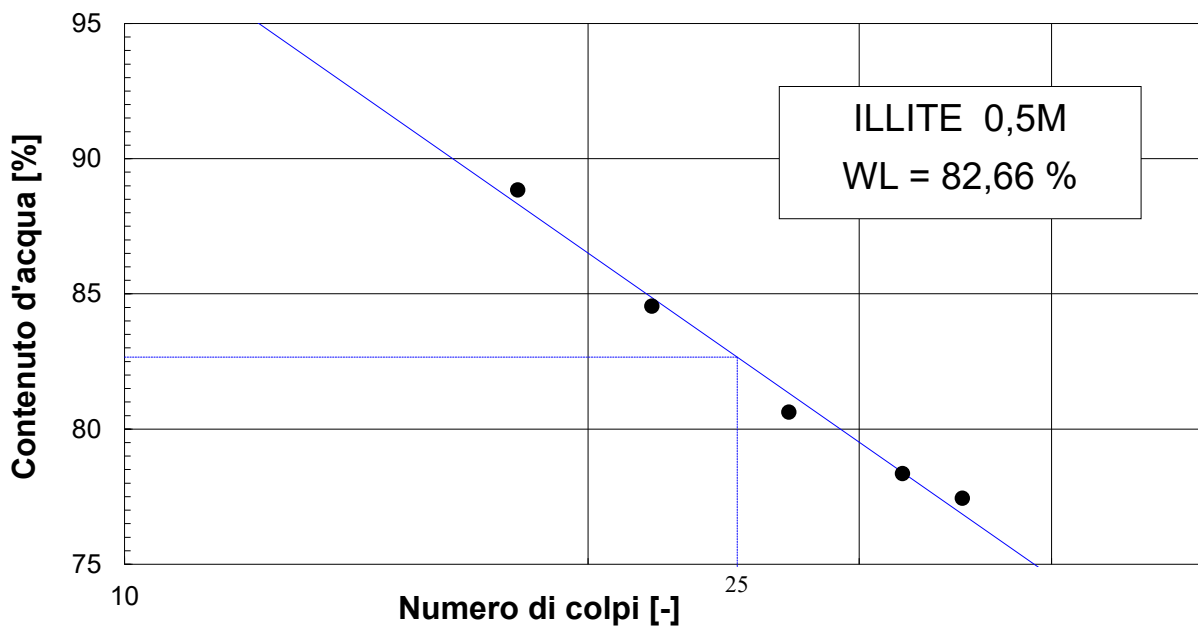


Fig. A.2 - limite liquido illite – NaCl 0,5M

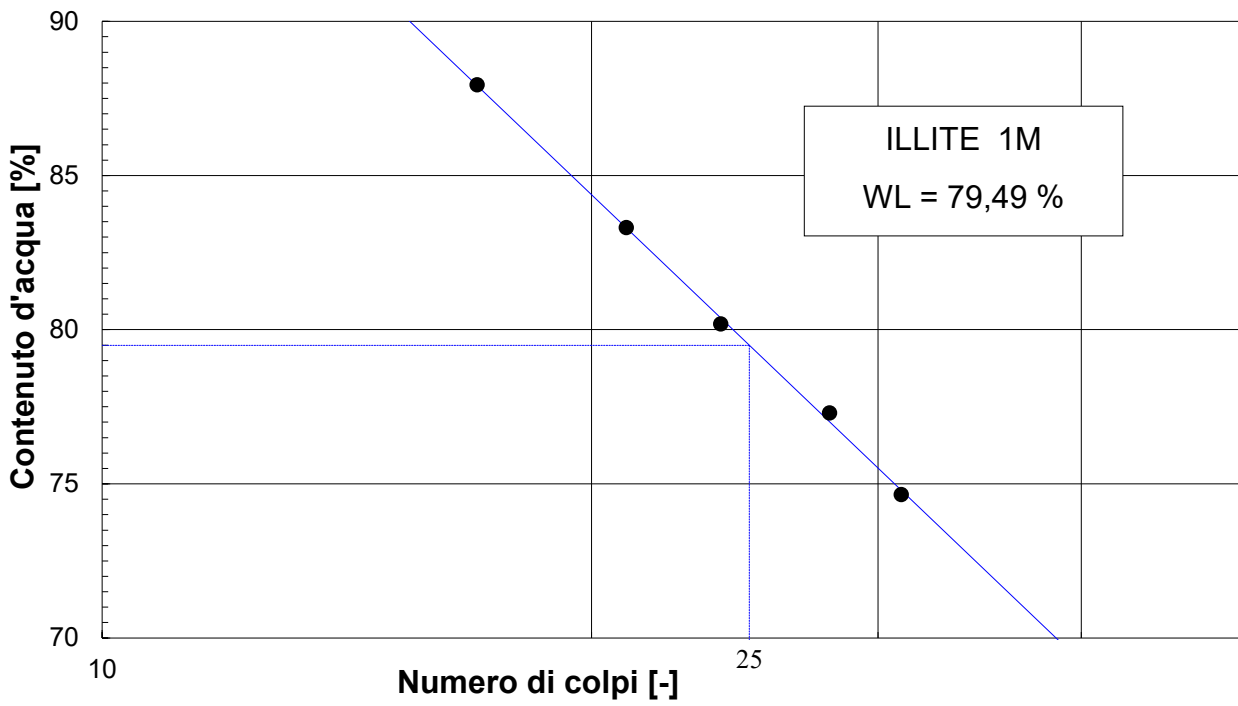


Fig. A.3 - limite liquido illite – NaCl 1M

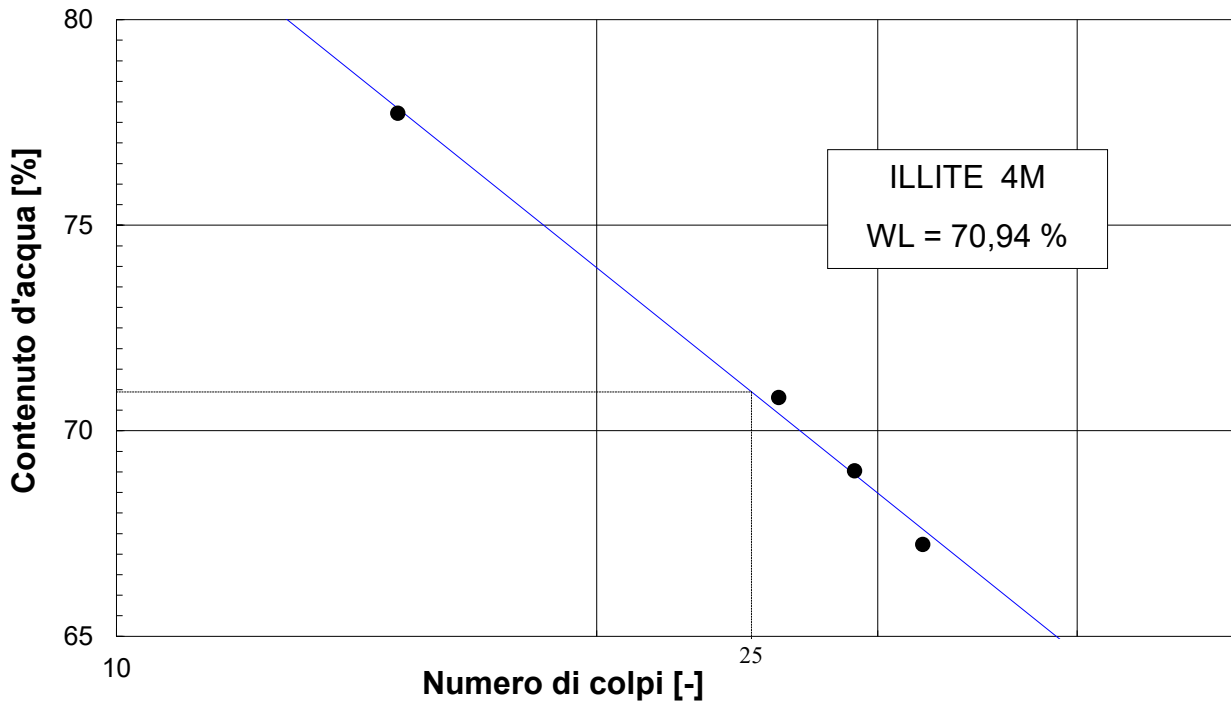


Fig. A.4 - limite liquido illite – NaCl 4M

A.2.2 LIMITI LIQUIDI MISCELA 75% ILLITE 25% BENTONITE

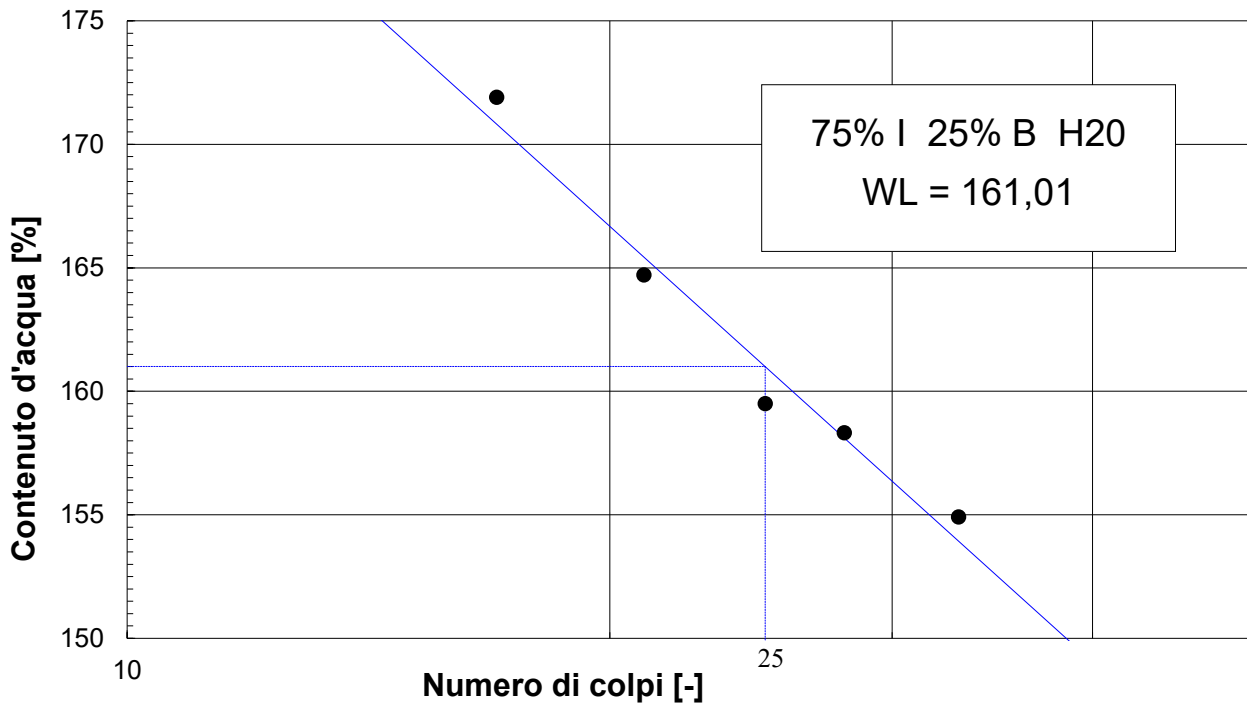


Fig. A.5 - limite liquido miscela 75% illite / 25% bentonite - acqua distillata

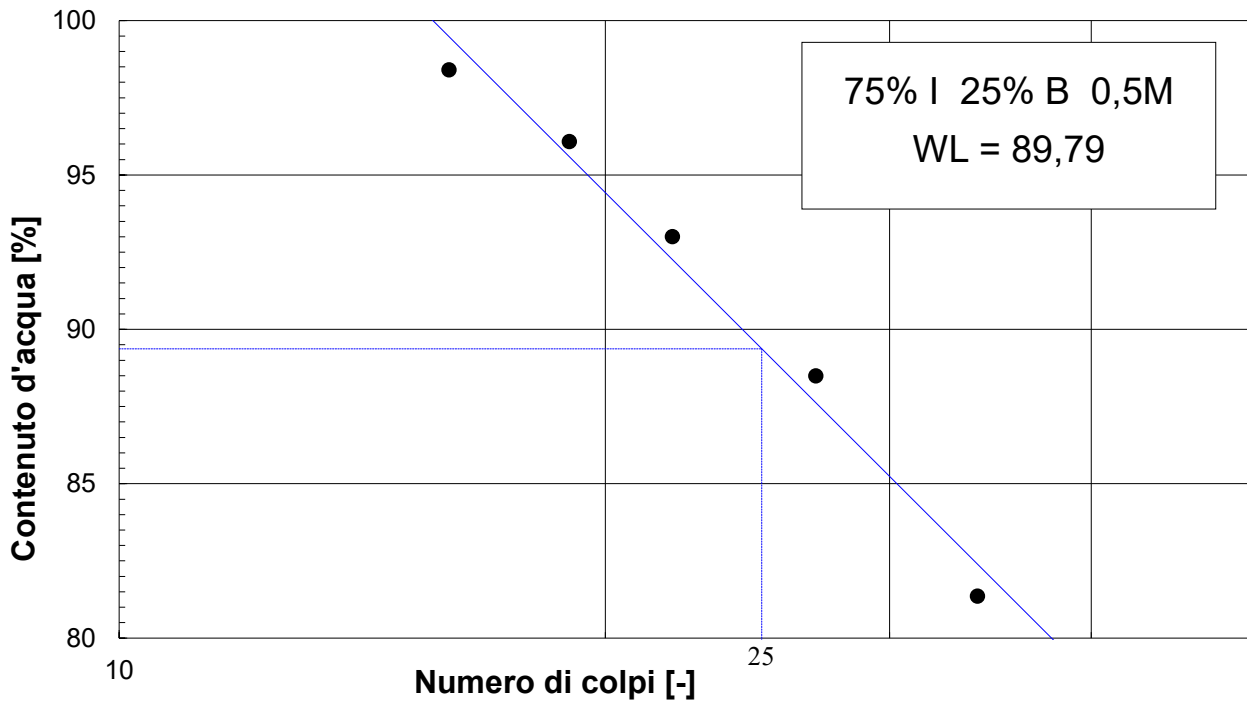


Fig. A.6 - limite liquido miscela 75% illite / 25% bentonite – NaCl 0,5M

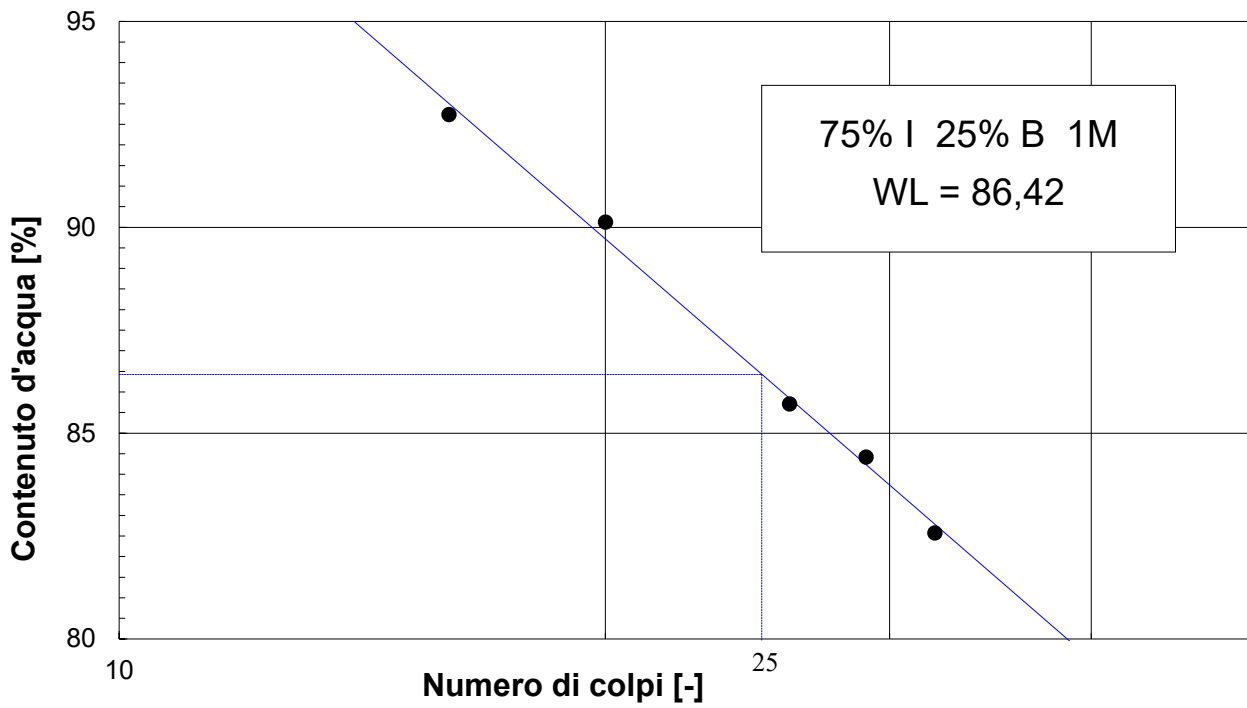


Fig. A.7 - limite liquido miscela 75% illite / 25% bentonite – NaCl 1M

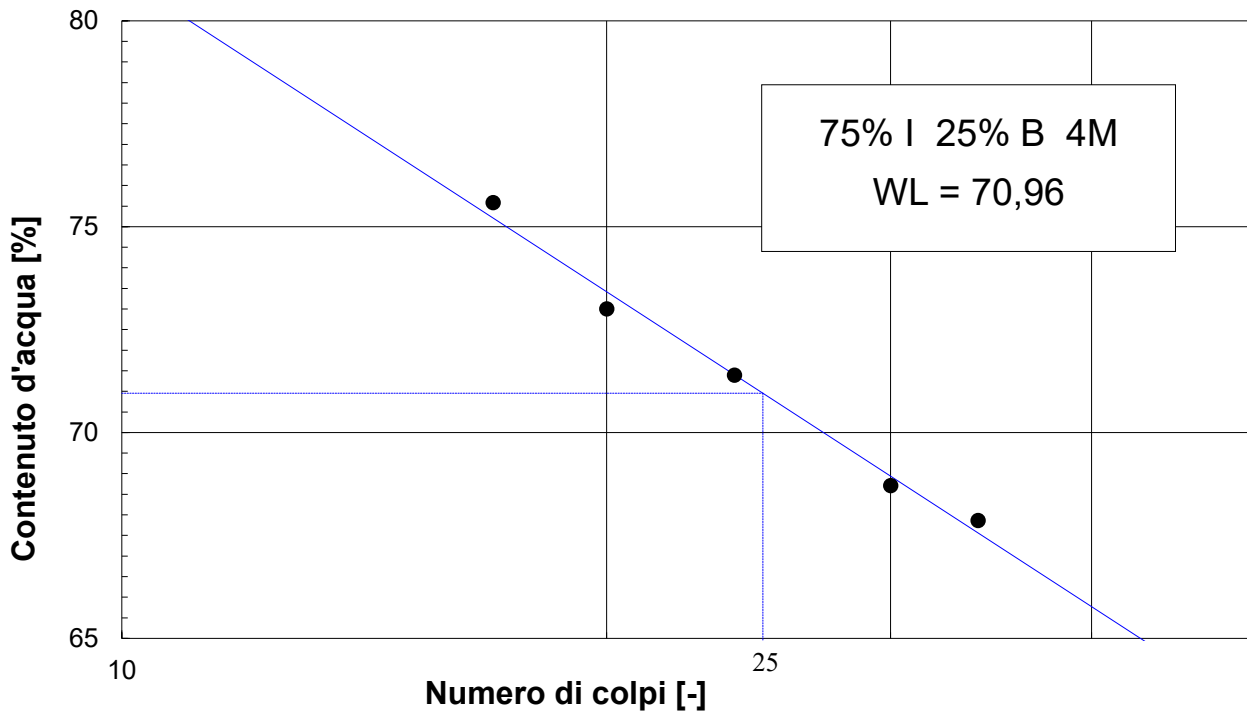


Fig. A.8 - limite liquido miscela 75% illite / 25% bentonite – NaCl 4M

A.2.3 LIMITI LIQUIDI MISCELA 50% ILLITE 50% BENTONITE

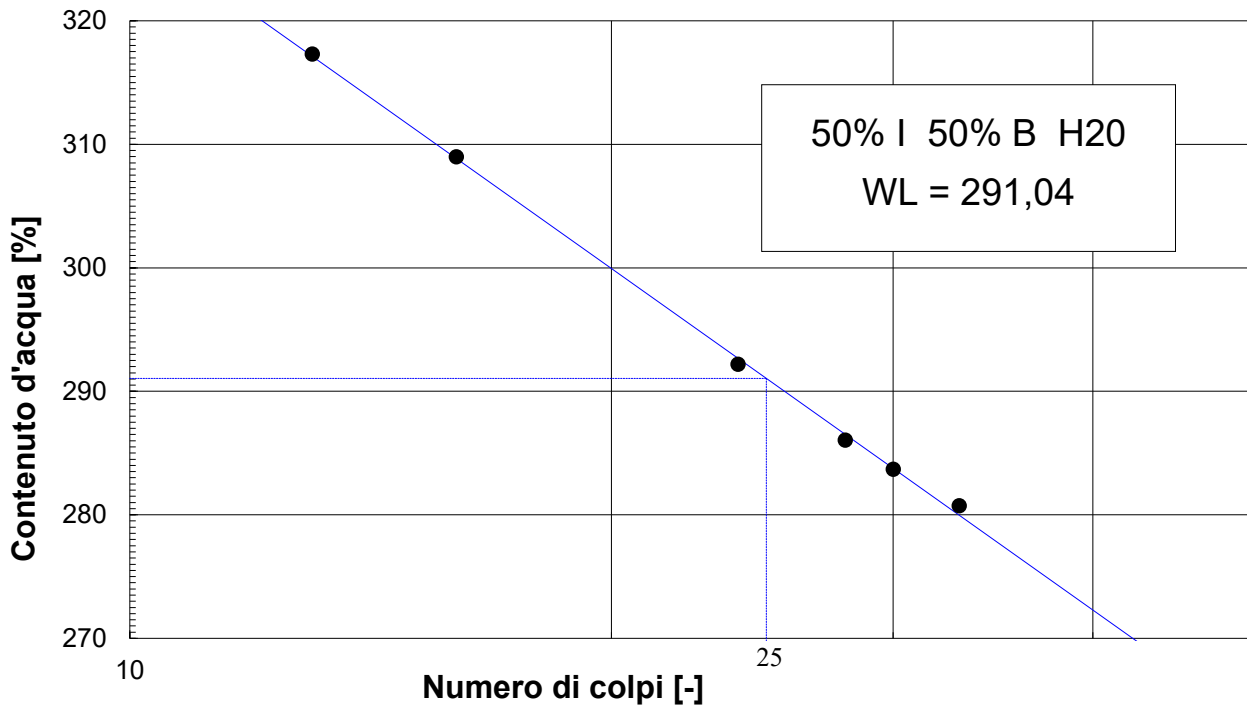


Fig. A.9 - limite liquido miscela 50% illite / 50% bentonite - acqua distillata

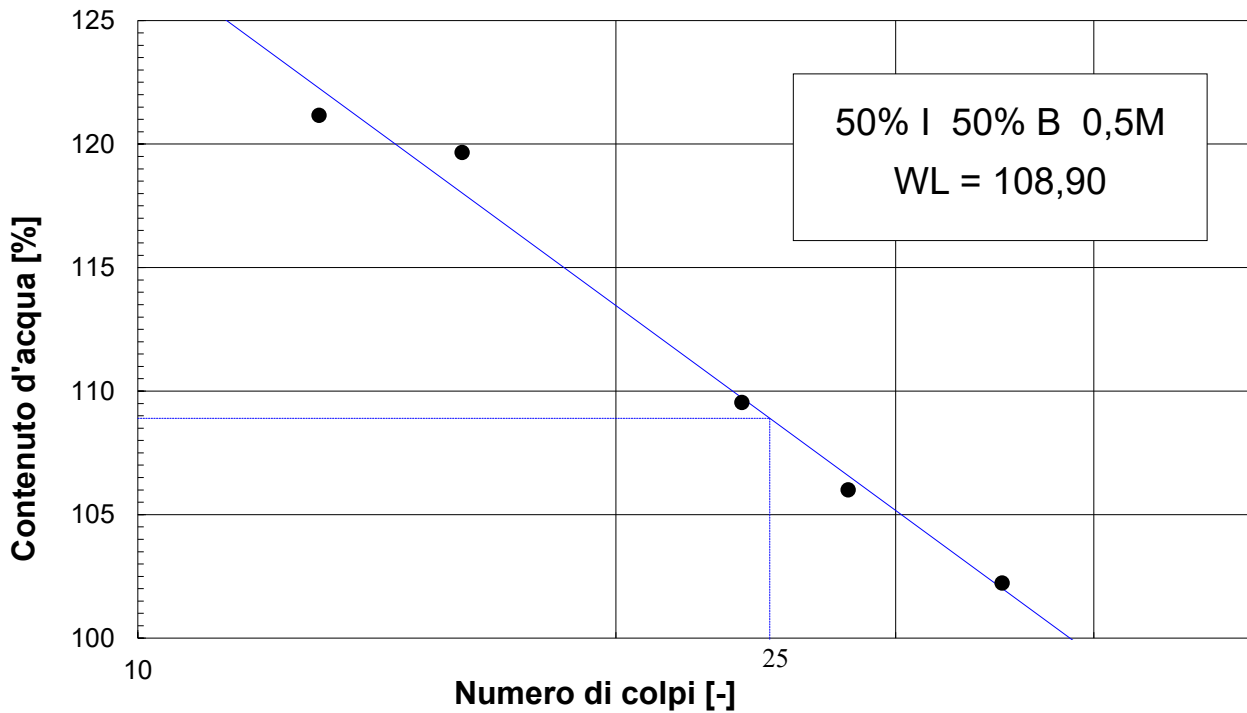


Fig. A.10 - limite liquido miscela 50% illite / 50% bentonite – NaCl 0,5M

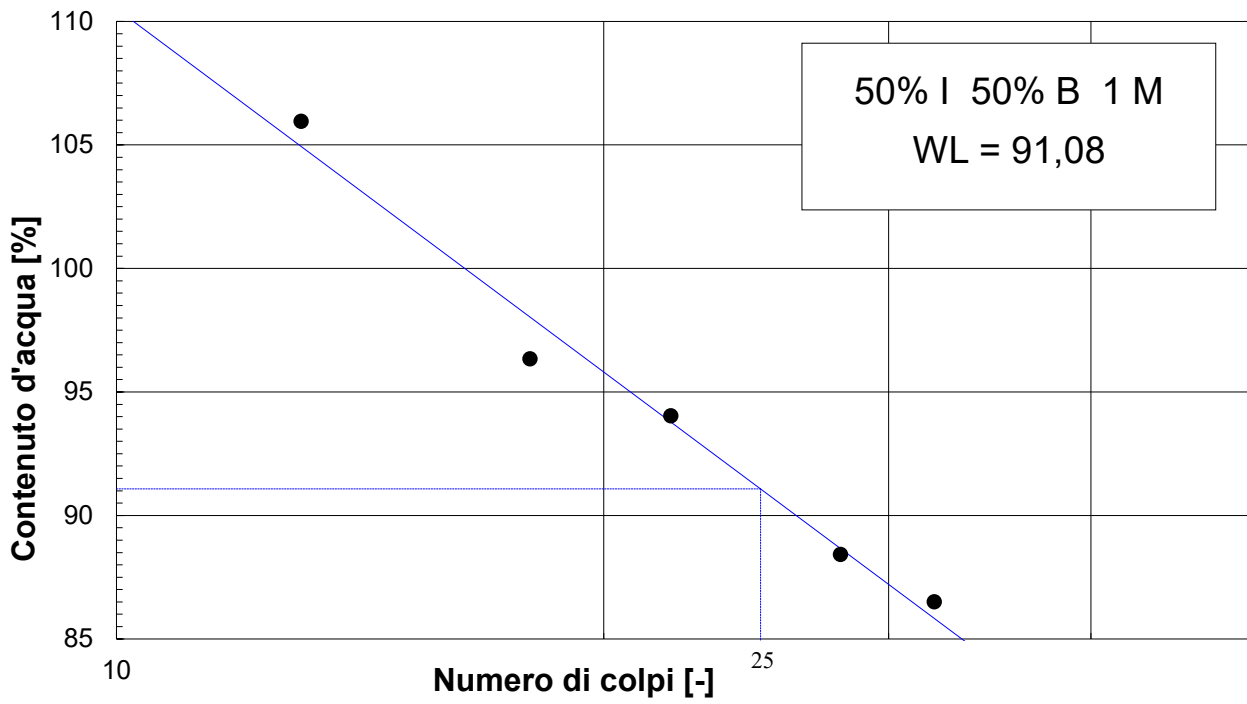


Fig. A.11 - limite liquido miscela 50% illite / 50% bentonite – NaCl 1M

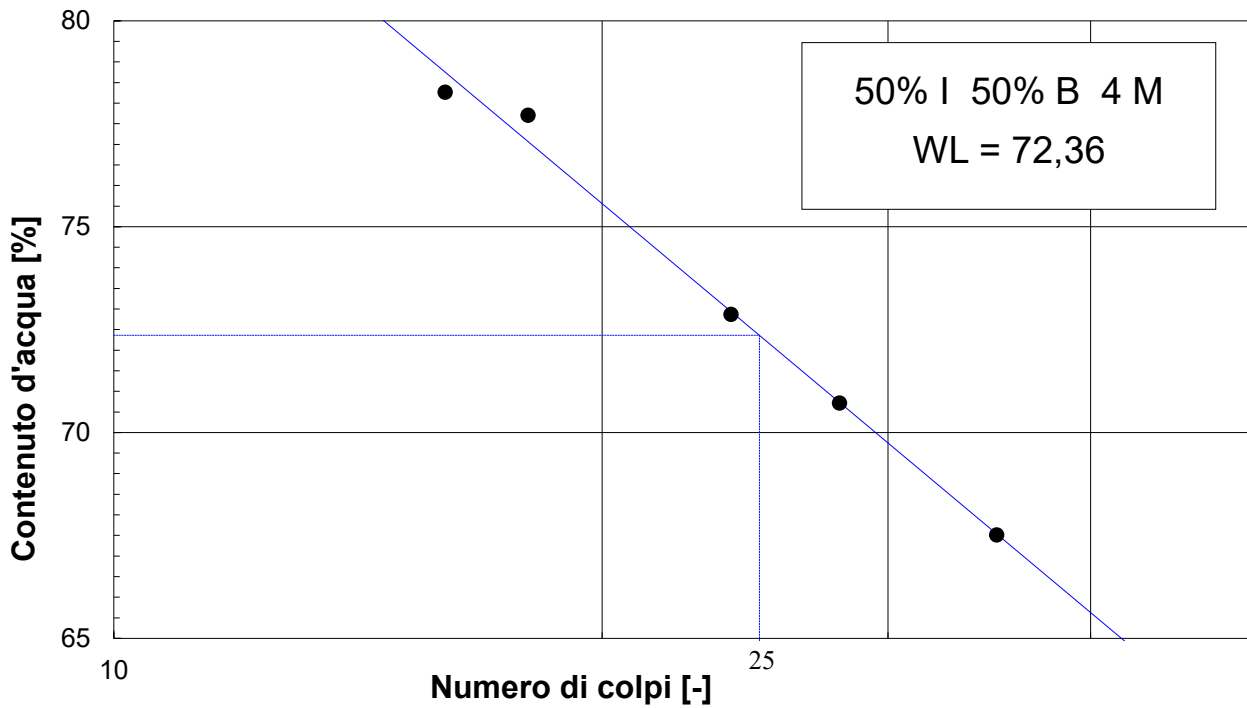


Fig. A.12 - limite liquido miscela 50% illite / 50% bentonite – NaCl 4M

A.2.4 LIMITI LIQUIDI MISCELA 25% ILLITE 75% BENTONITE

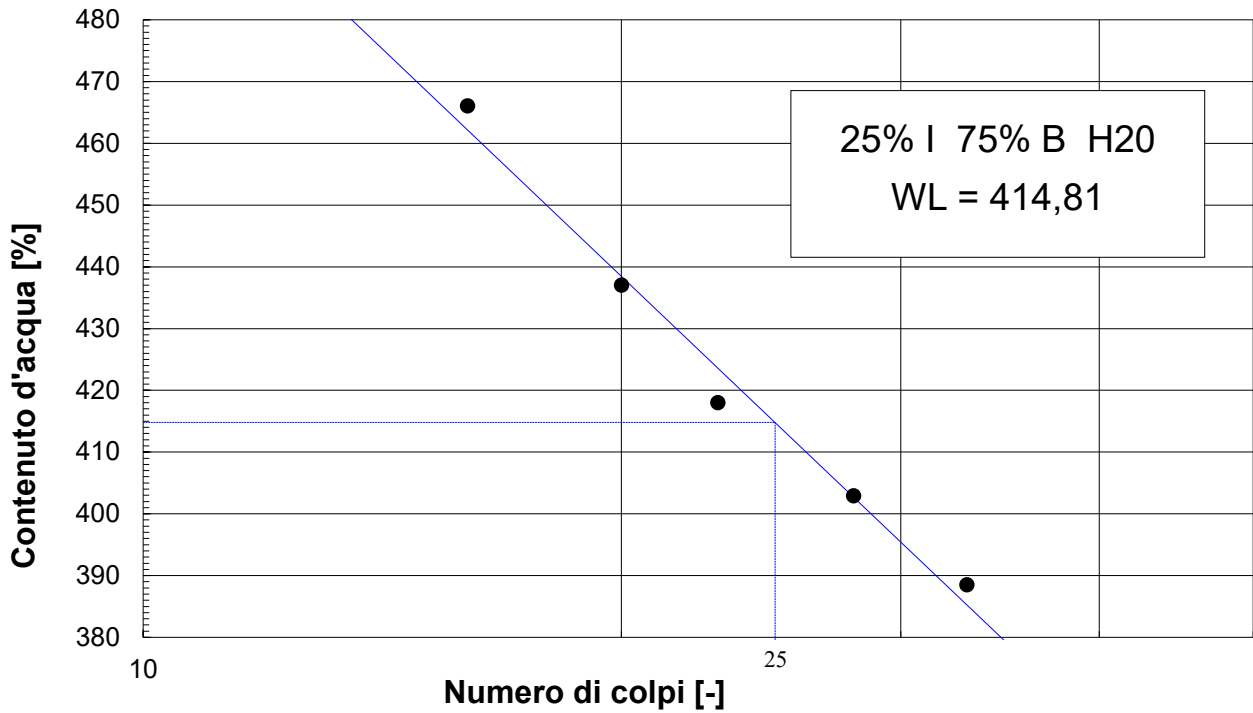


Fig. A.13 - limite liquido miscela 25% illite / 75% bentonite - acqua distillata

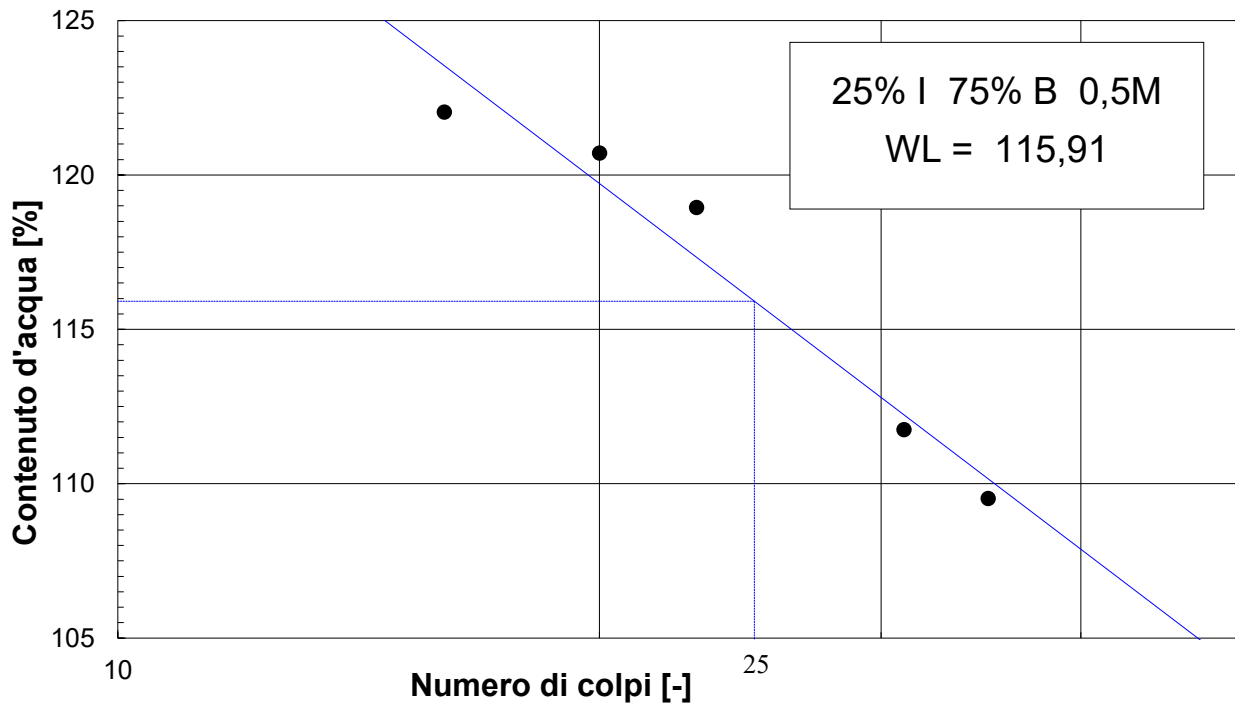


Fig. A.14 - limite liquido miscela 25% illite / 75% bentonite – NaCl 0,5M

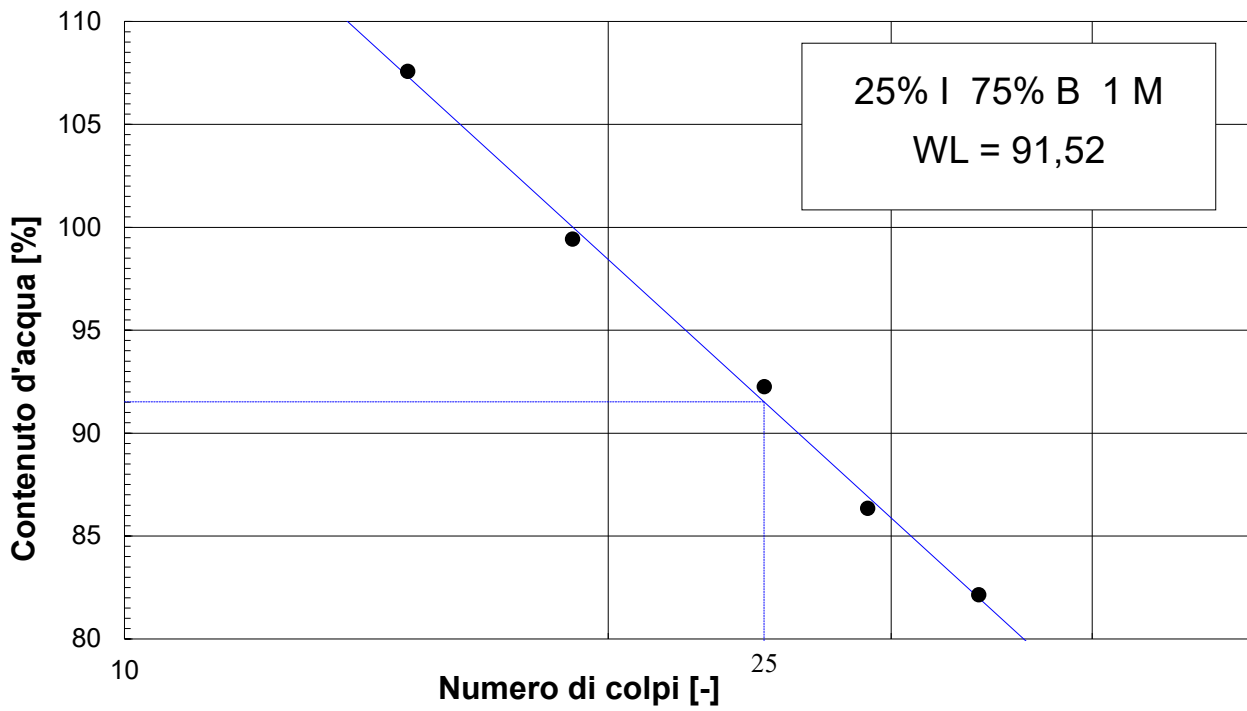


Fig. A.15 - limite liquido miscela 25% illite / 75% bentonite – NaCl 1M

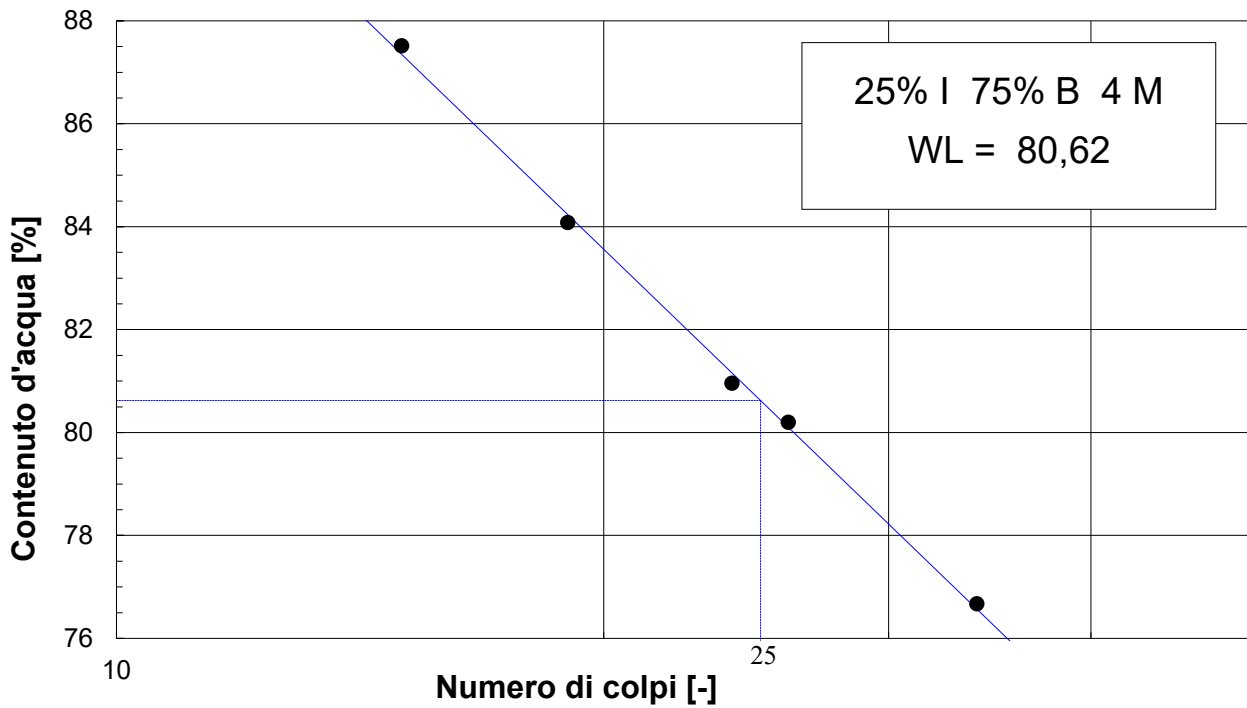


Fig. A.16 - limite liquido miscela 25% illite / 75% bentonite – NaCl 4M

A.2.5 LIMITI LIQUIDI BENTONITE

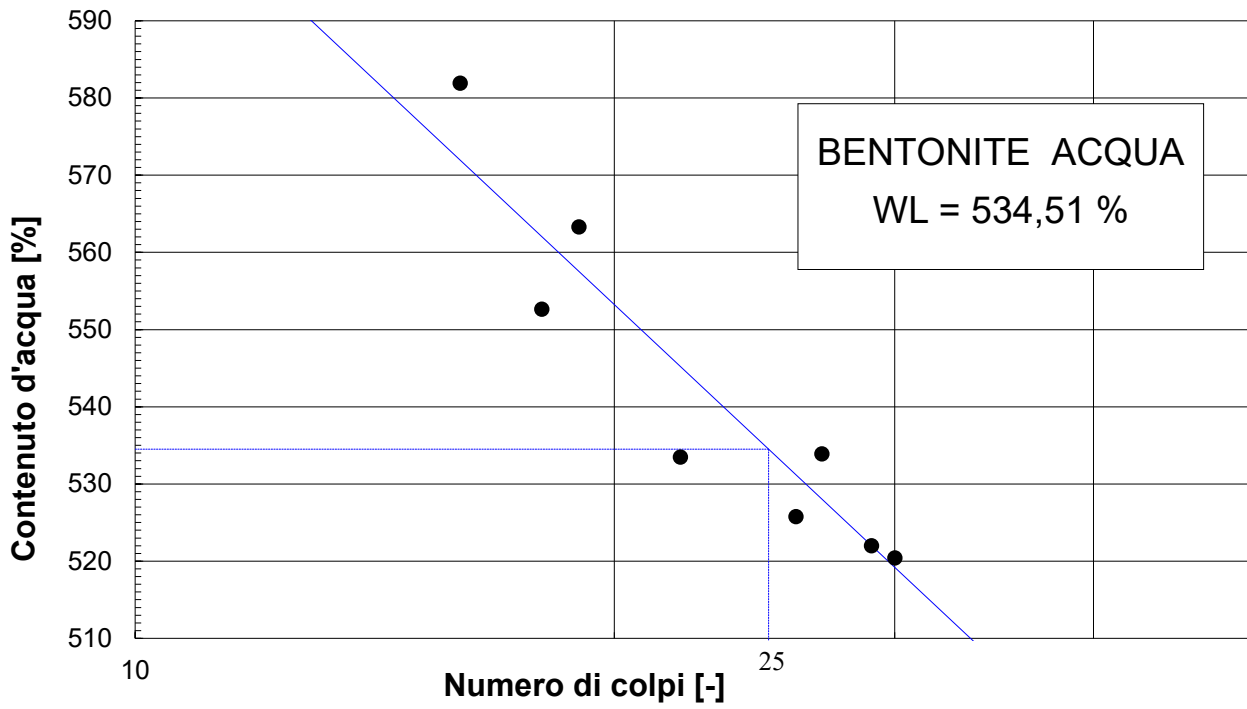


Fig. A.17 - limite liquido bentonite - acqua distillata

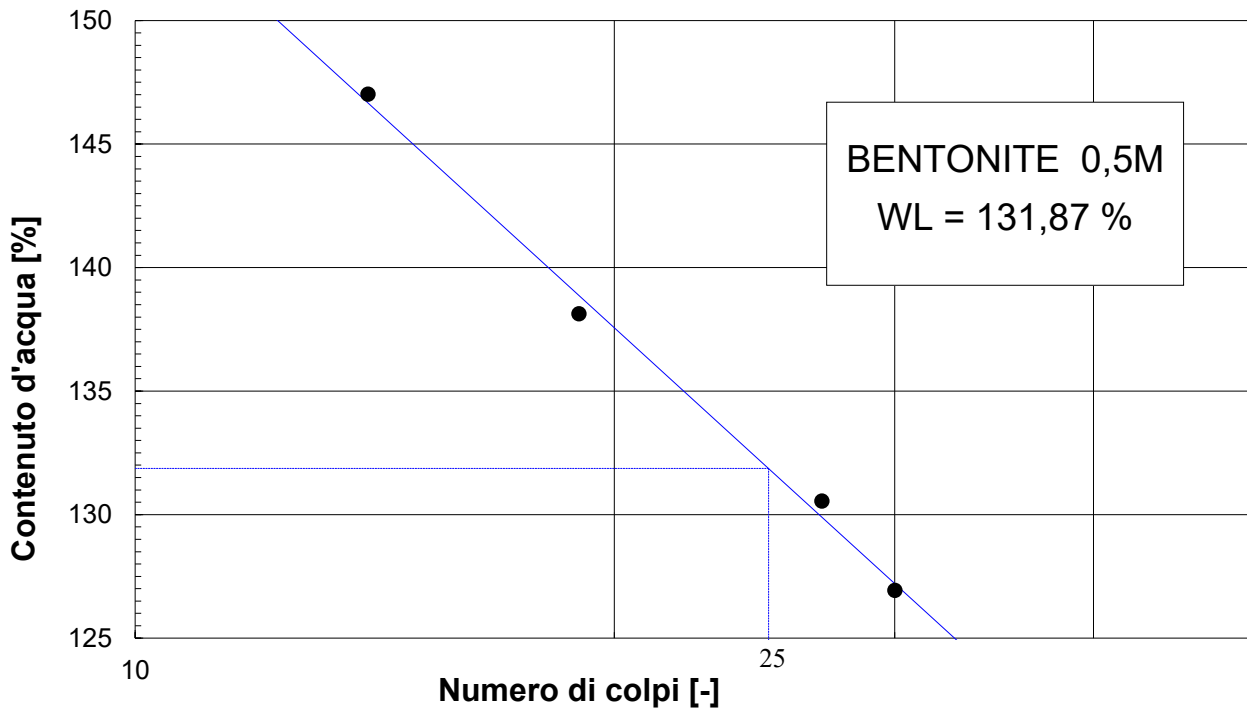


Fig. A.18 - limite liquido bentonite – NaCl 0,5M

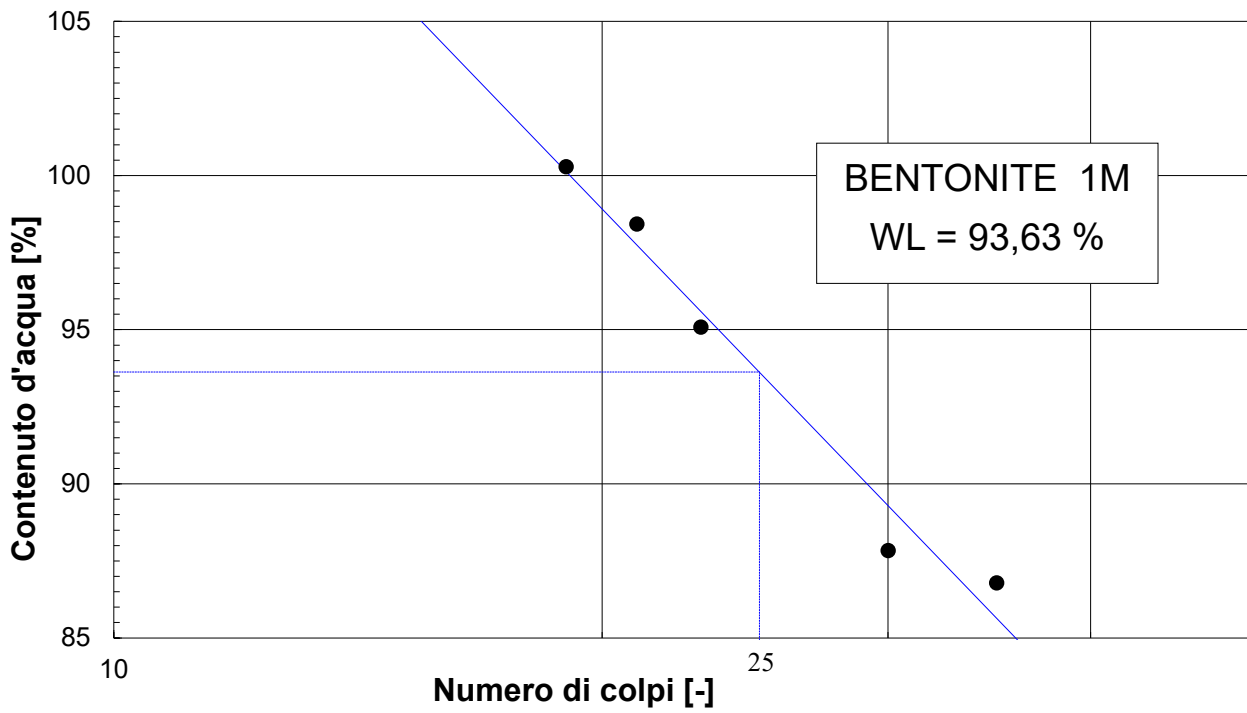


Fig. A.19 - limite liquido bentonite – NaCl 1M

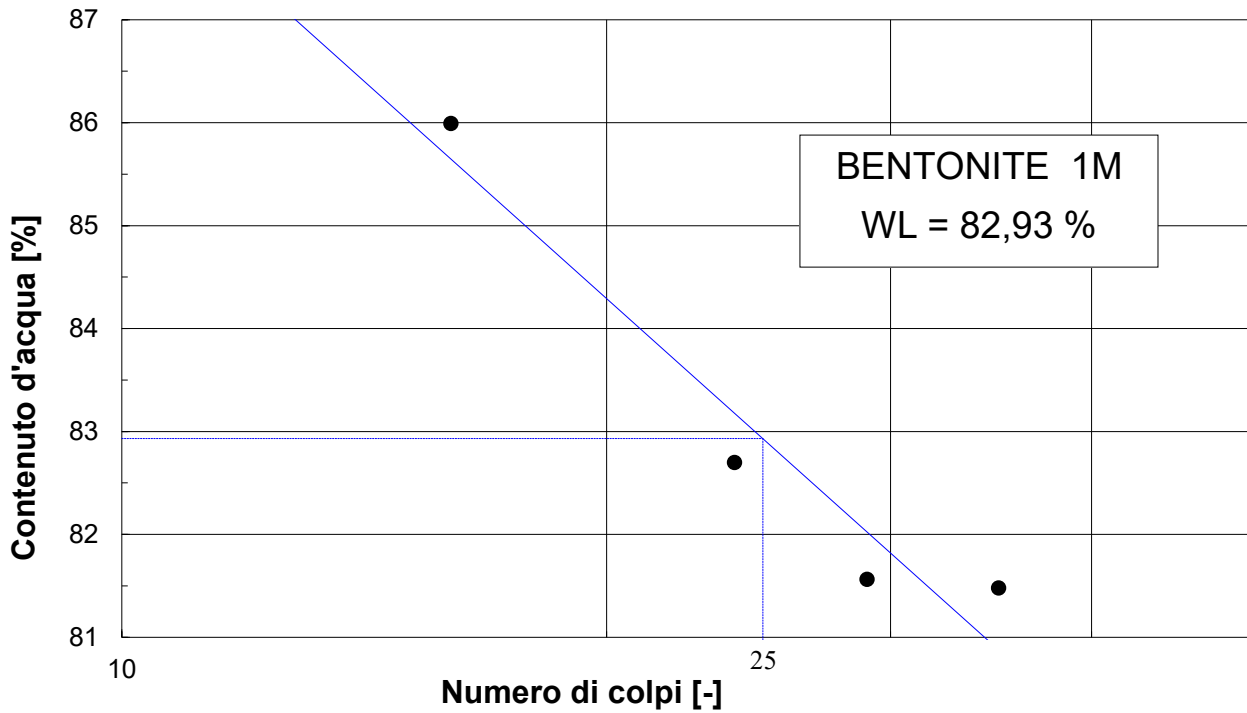


Fig. A.20 - limite liquido bentonite – NaCl 4M

A.3 PROVE DI TAGLIO ANULARE

A.3.1 PROVE DI TAGLIO ANULARE ILLITE

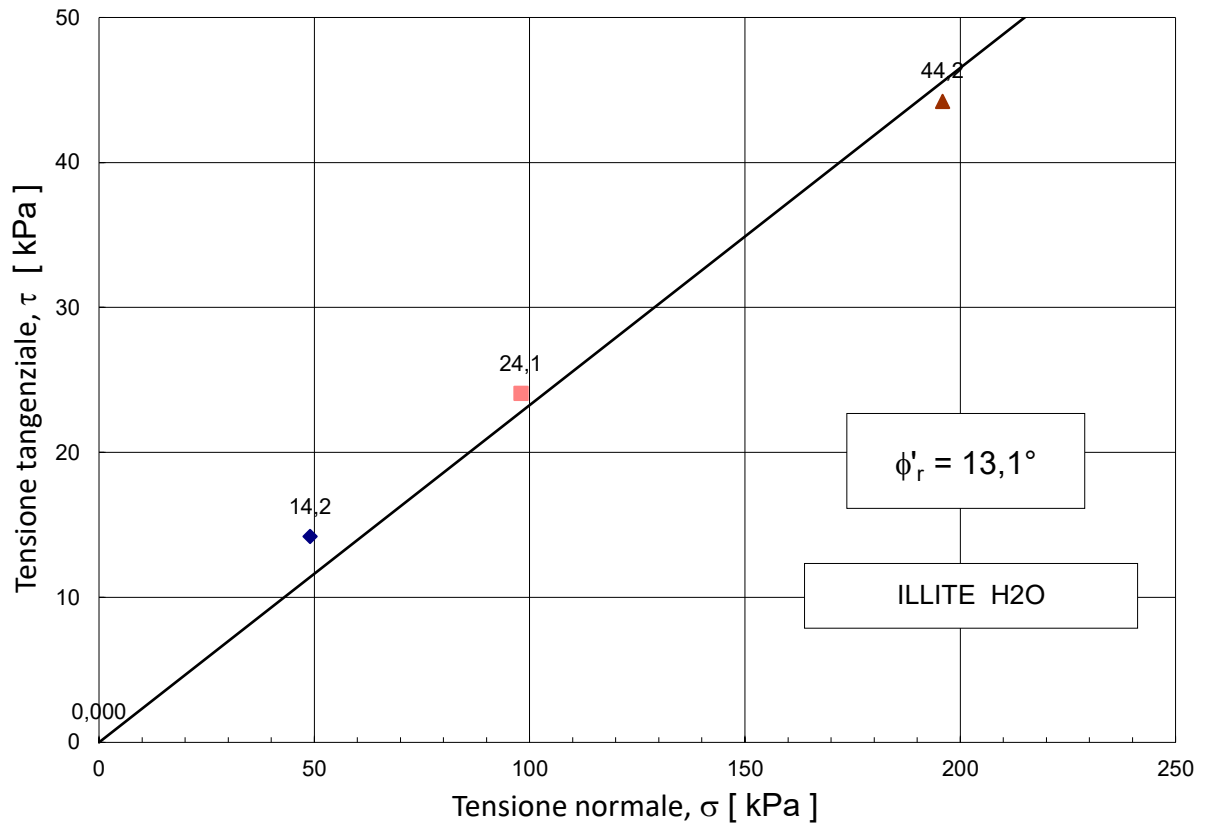


Fig. A.22 - involucro di rottura, illite – acqua distillata

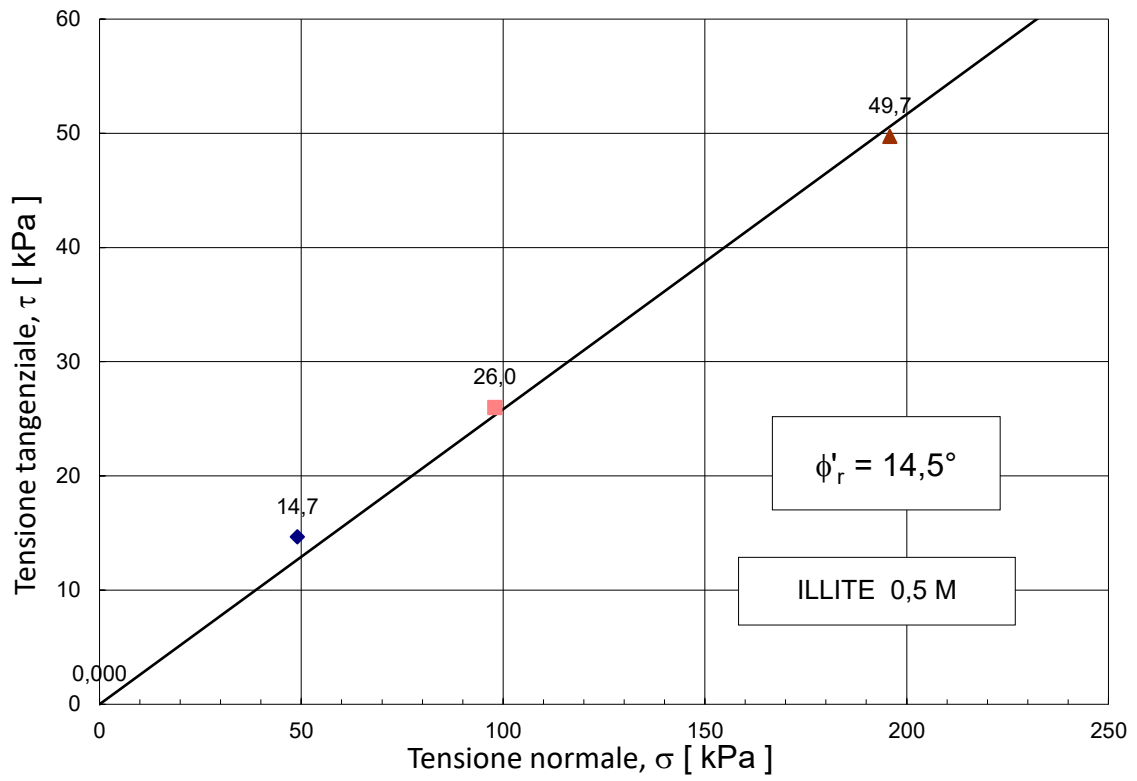


Fig. A.23 - involucro di rottura, illite – NaCl 0,5M

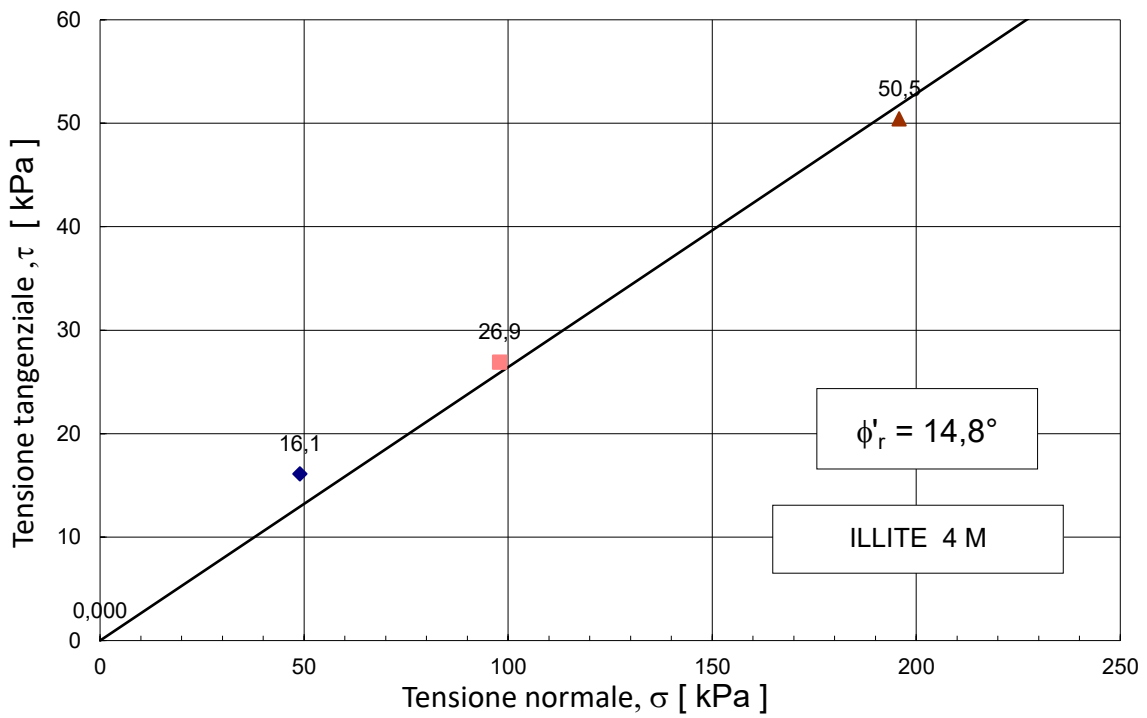


Fig. A.24 - involucro di rottura, illite – NaCl 4M

A.3.2 PROVE DI TAGLIO ANULARE MISCELA 75% ILLITE 25% BENTONITE

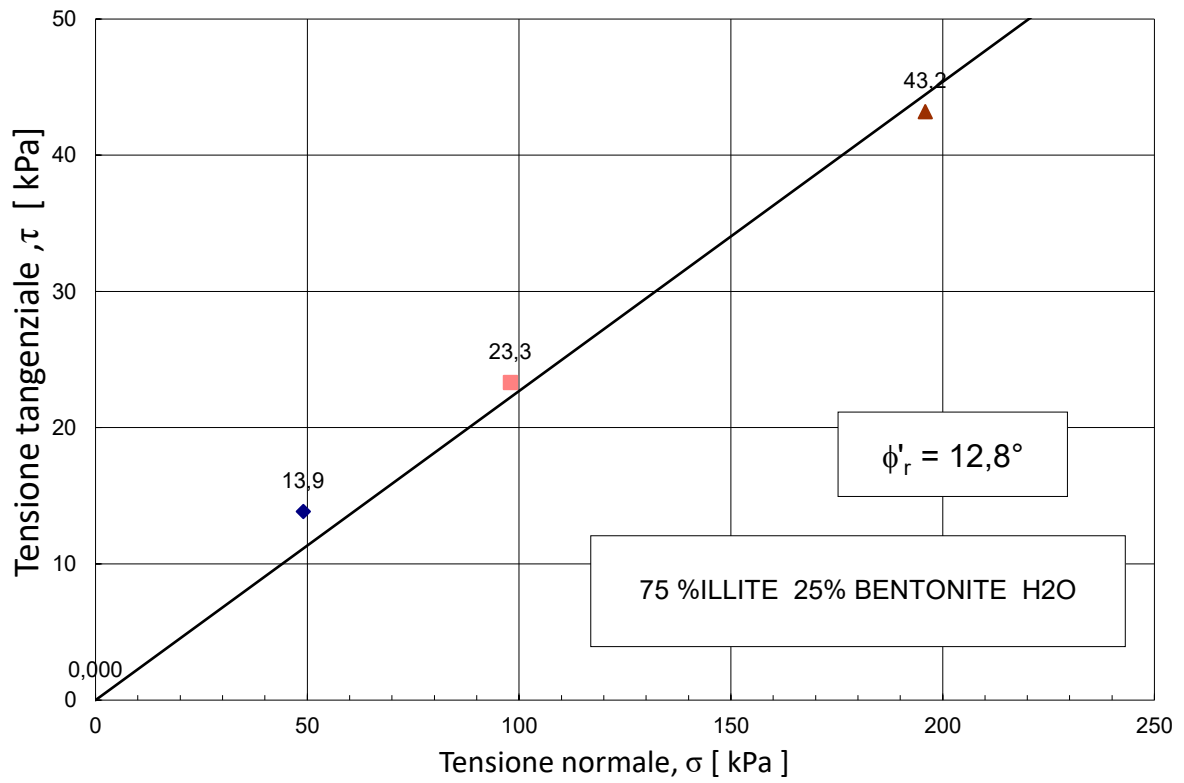


Fig. A.25 - involucro di rottura, miscela 75% illite / 25% bentonite – acqua distillata

Appendice

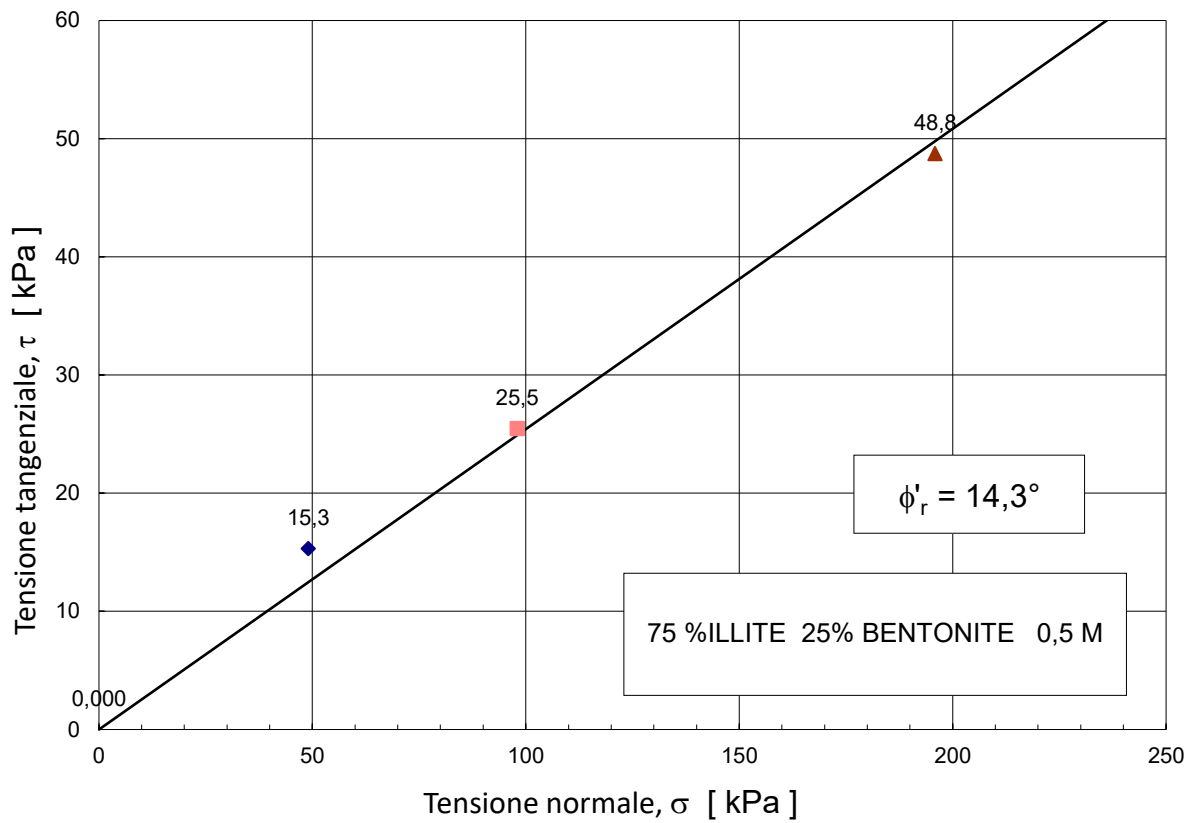


Fig. A.26 - involucro di rottura, miscela 75% illite / 25% bentonite – NaCl 0,5M

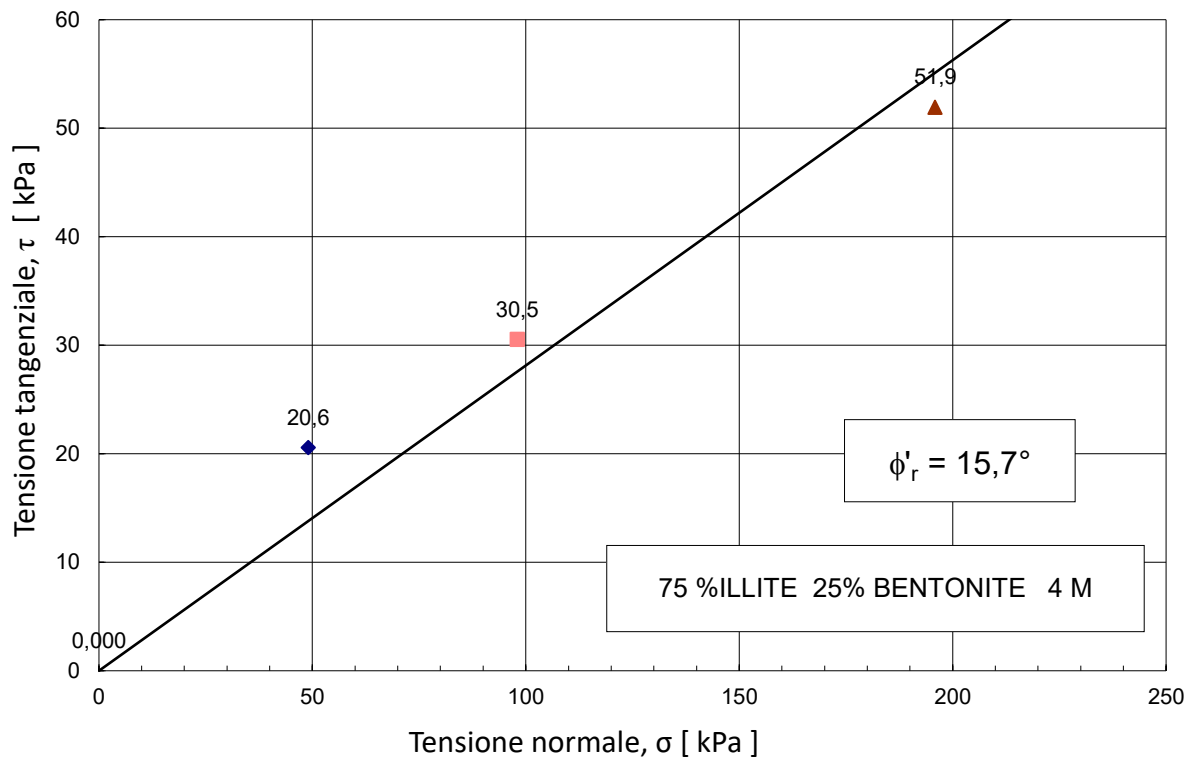


Fig. A.27 - involucro di rottura, miscela 75% illite / 25% bentonite – NaCl 4M

A.3.3 PROVE DI TAGLIO ANULARE MISCELA 50% ILLITE 50% BENTONITE

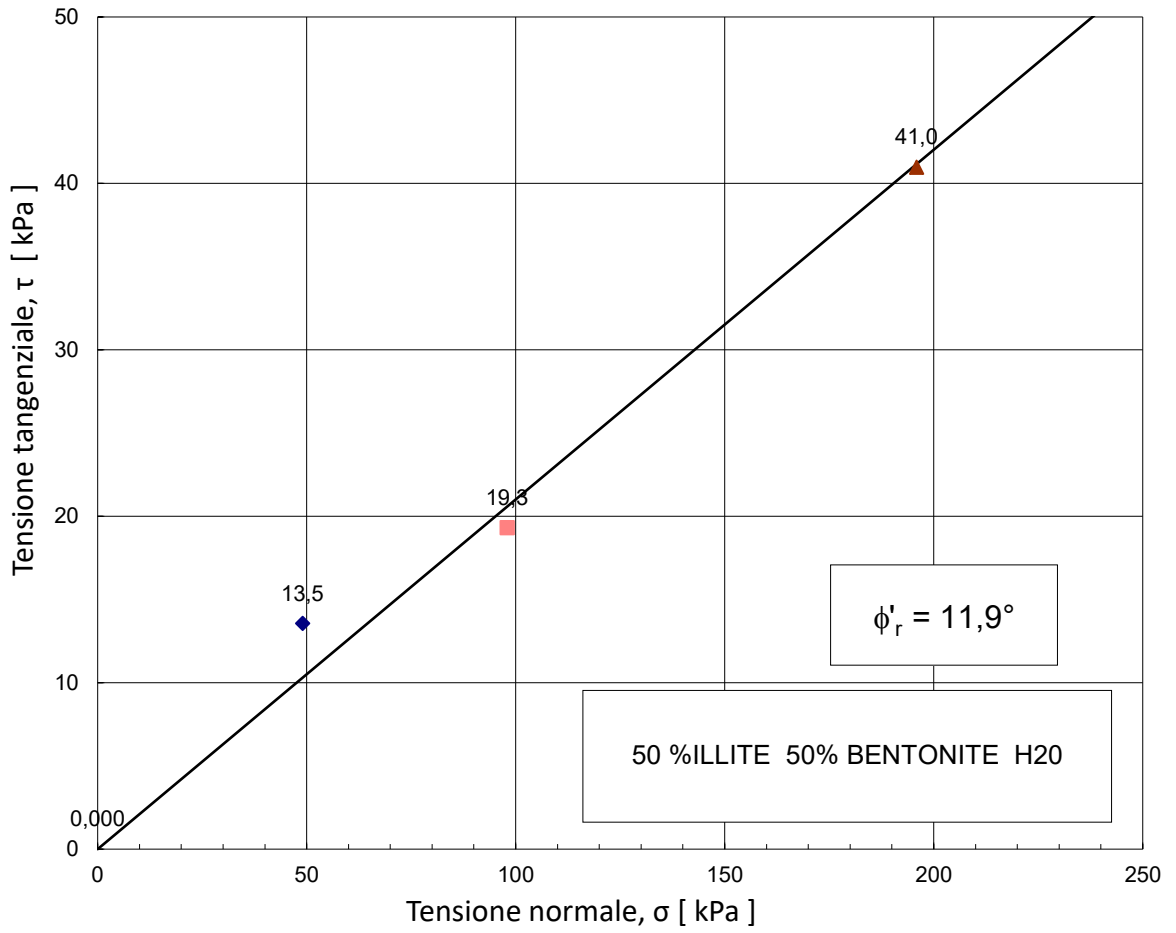


Fig. A.28 - involucro di rottura, miscela 50% illite / 50% bentonite – acqua distillata

Appendice

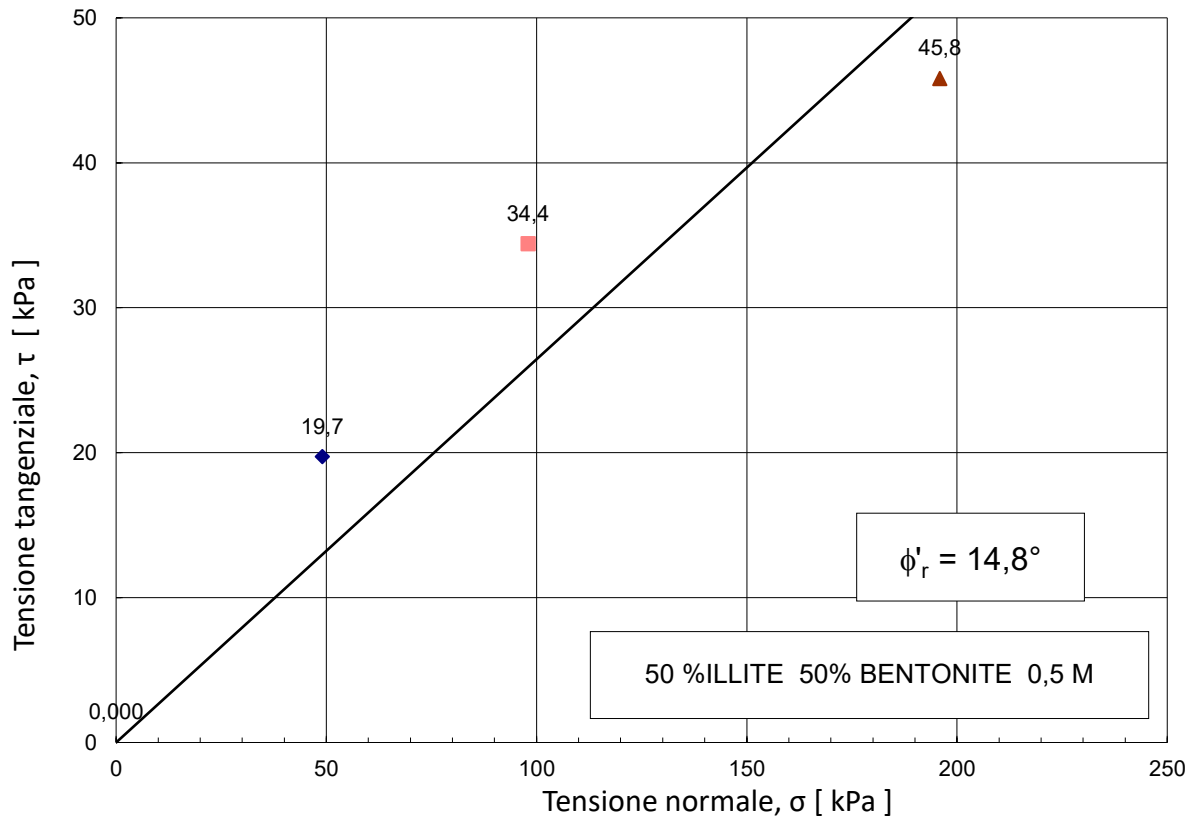


Fig. A.29 - involucro di rottura, miscela 50% illite / 50% bentonite – NaCl 0,5M

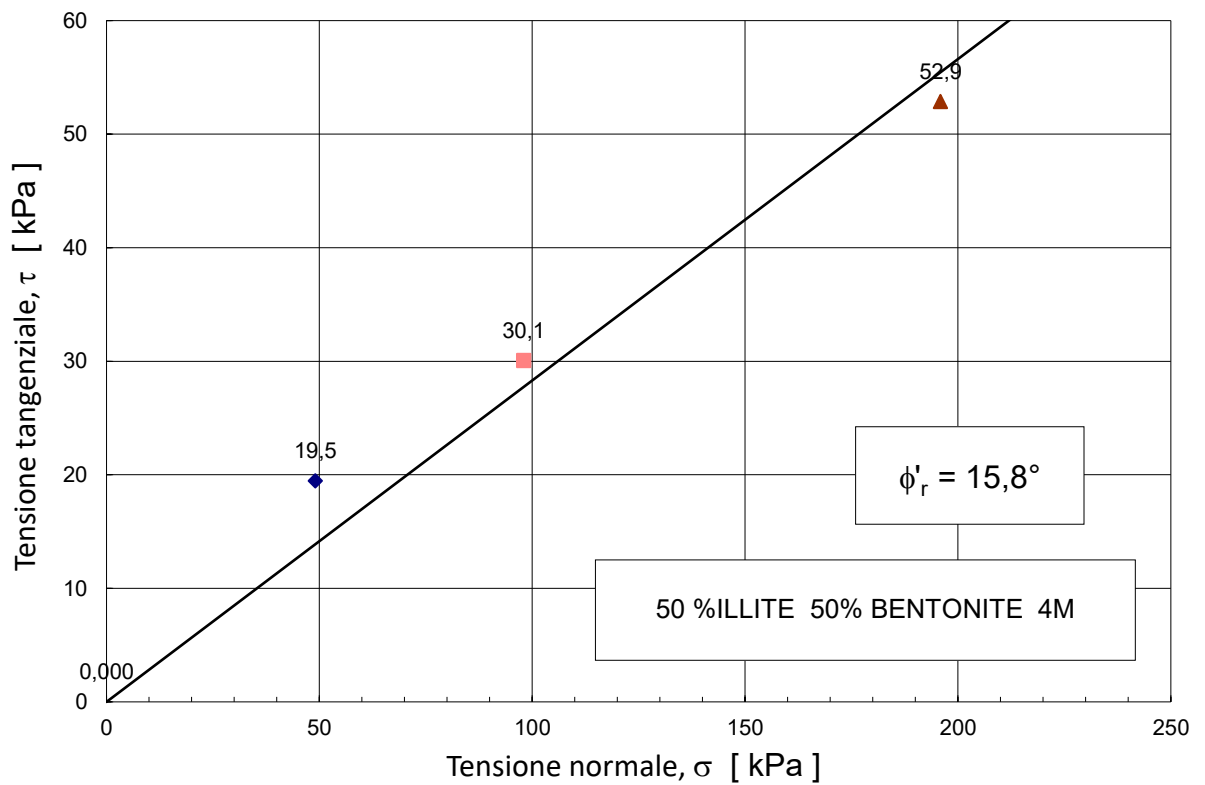


Fig. A.30 - involucro di rottura, miscela 50% illite / 50% bentonite – NaCl 4M

A.3.4 PROVE DI TAGLIO ANULARE MISCELA 25% ILLITE 75% BENTONITE

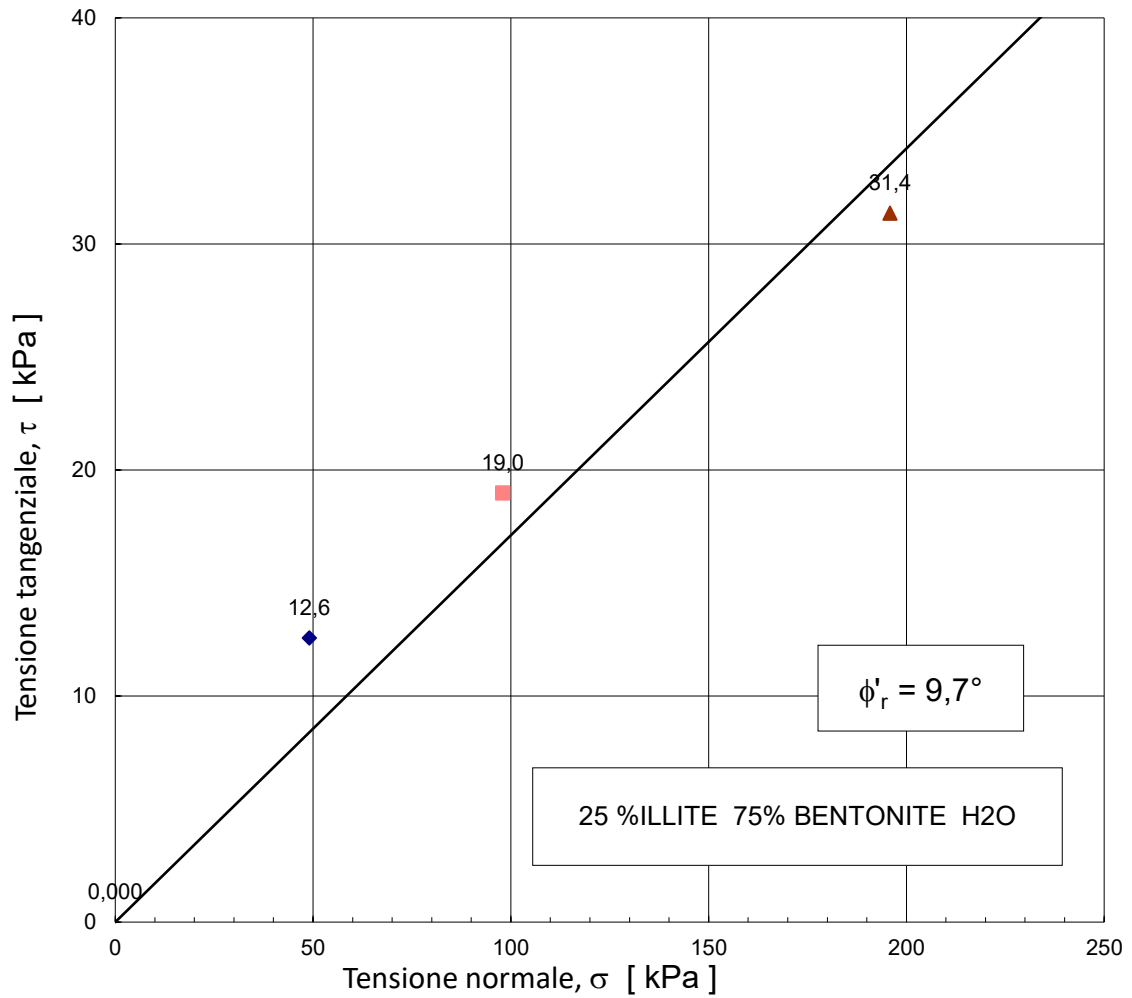


Fig. A.31 - involucro di rottura, miscela 25% illite / 75% bentonite – acqua distillata

Appendice

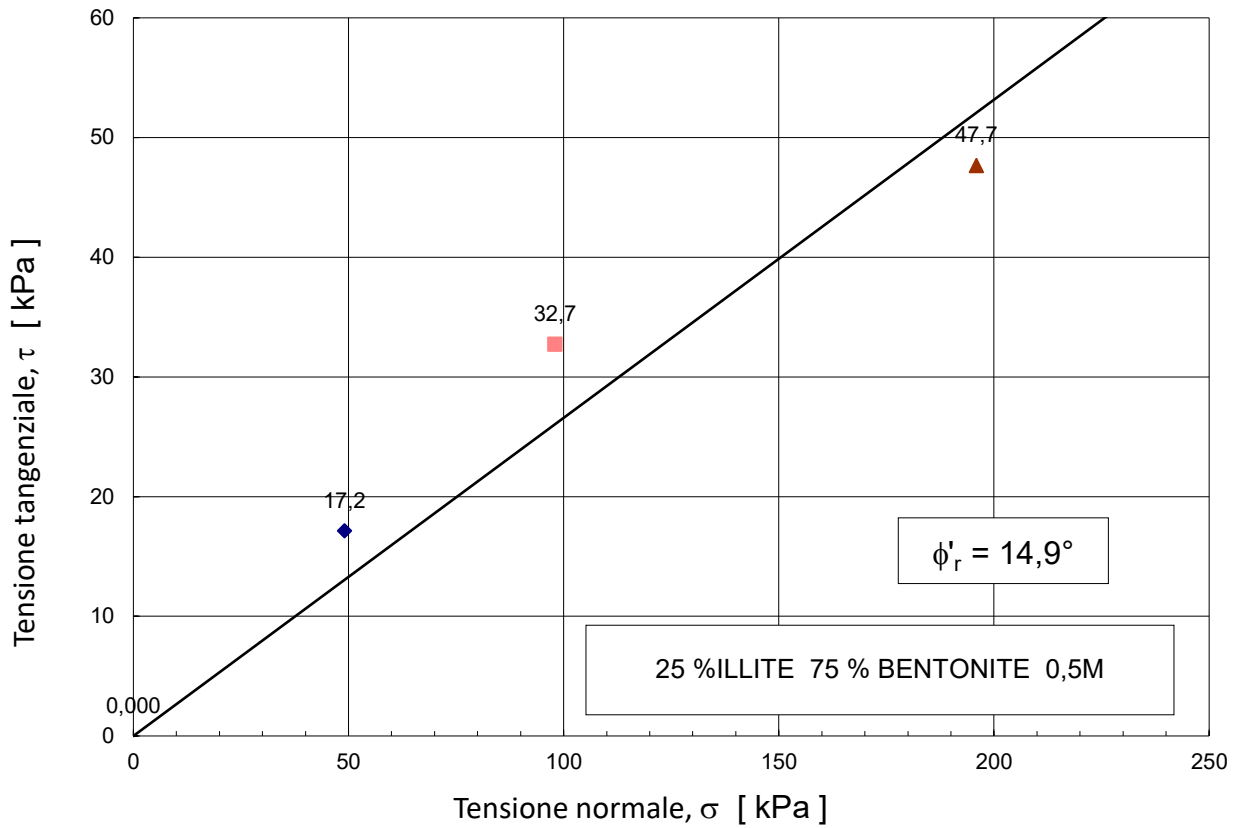


Fig. A.32 - involucro di rottura, miscela 25% illite / 75% bentonite – NaCl 0,5M

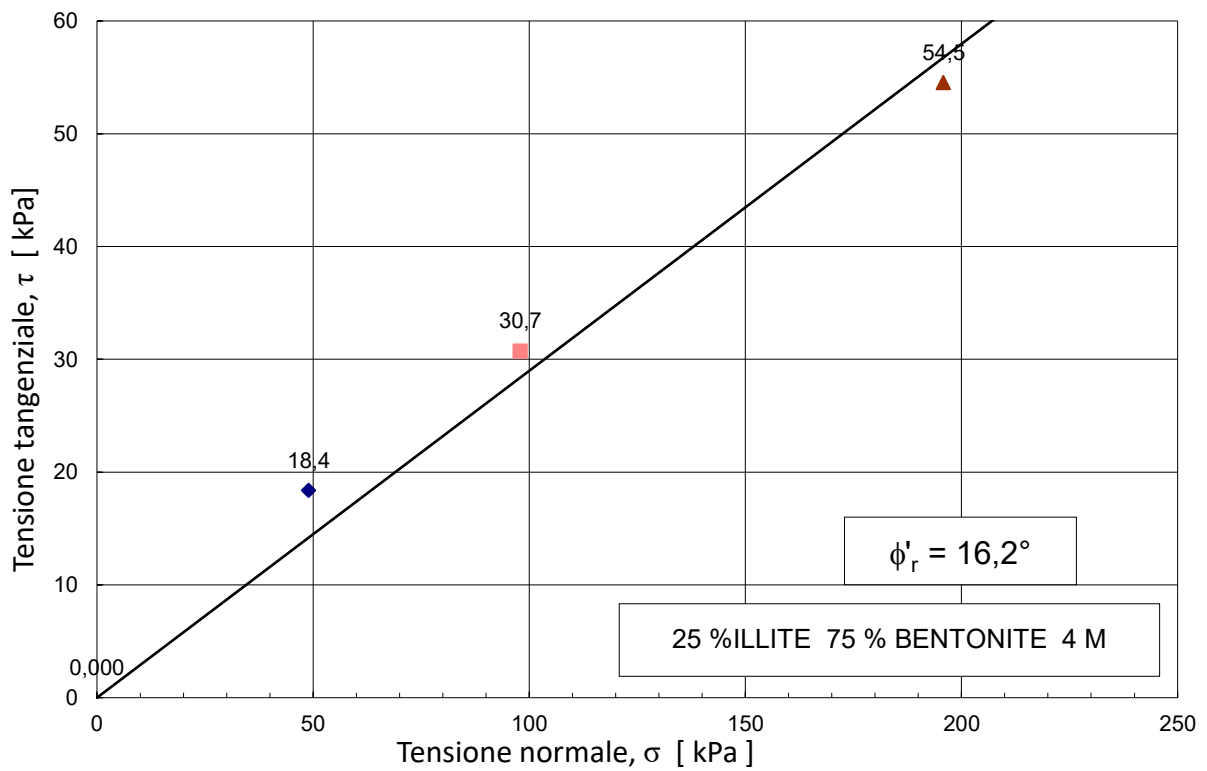


Fig. A.33 - involucro di rottura, miscela 25% illite / 75% bentonite – NaCl 4M

A.3.5 PROVE DI TAGLIO ANULARE BENTONITE

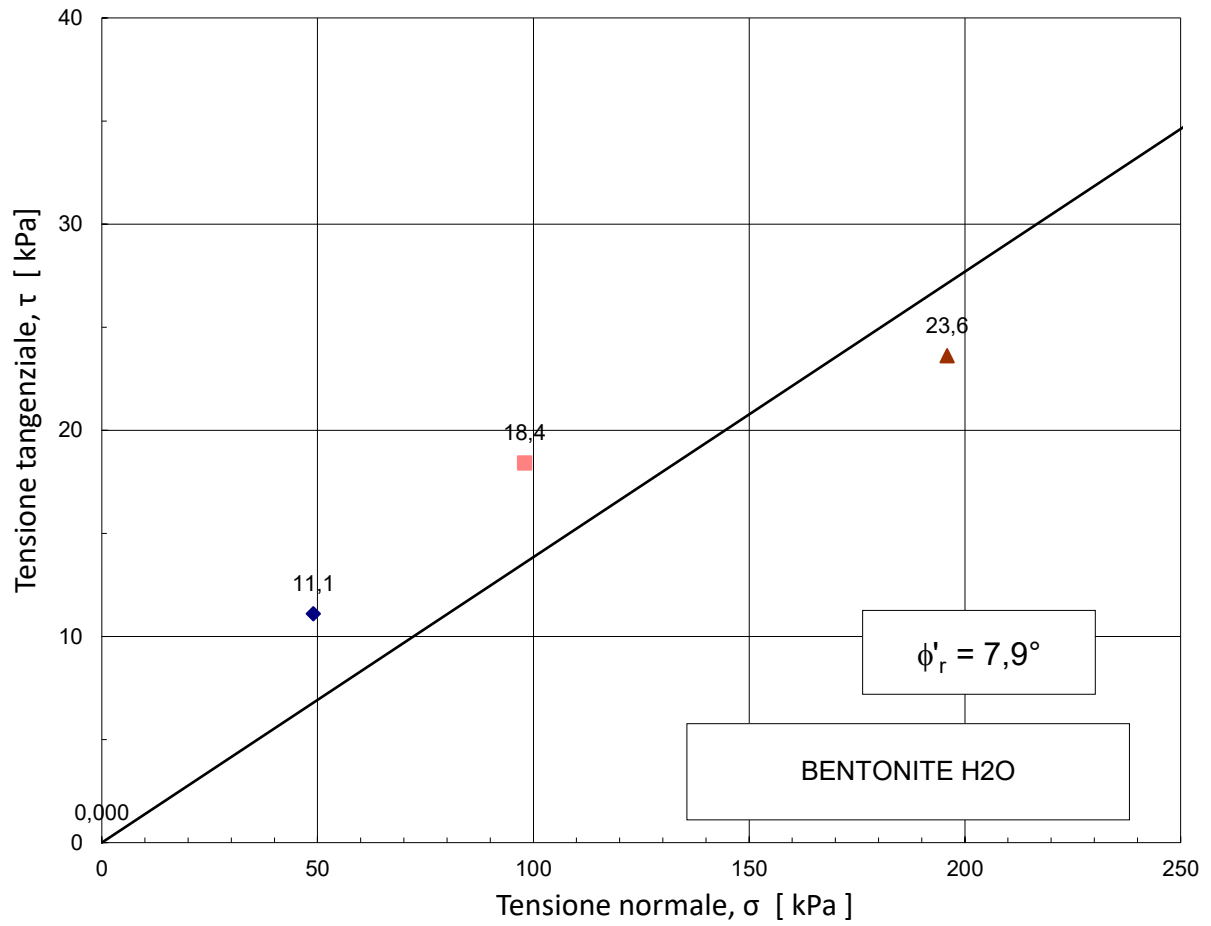


Fig. A.34 - involucro di rottura, bentonite – acqua distillata

Appendice

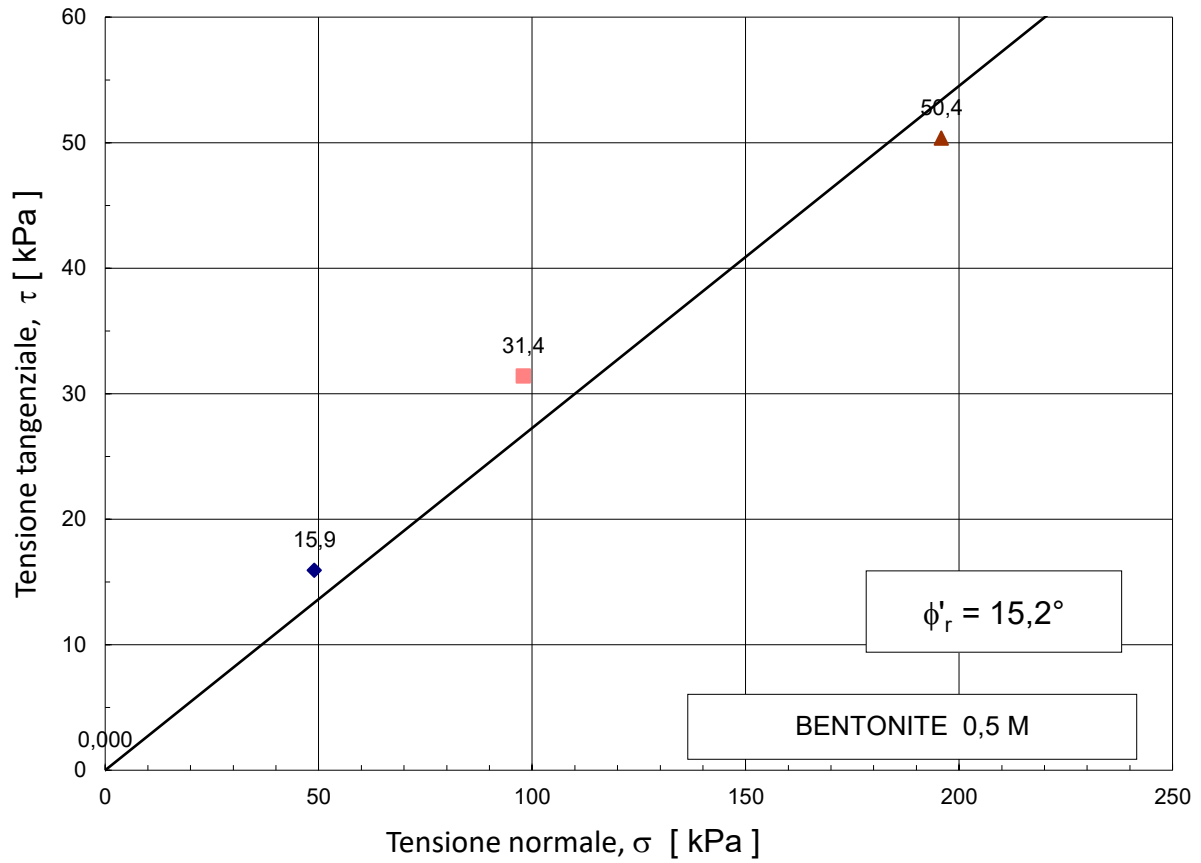


Fig. A.35 - involucro di rottura, bentonite – NaCl 0,5M

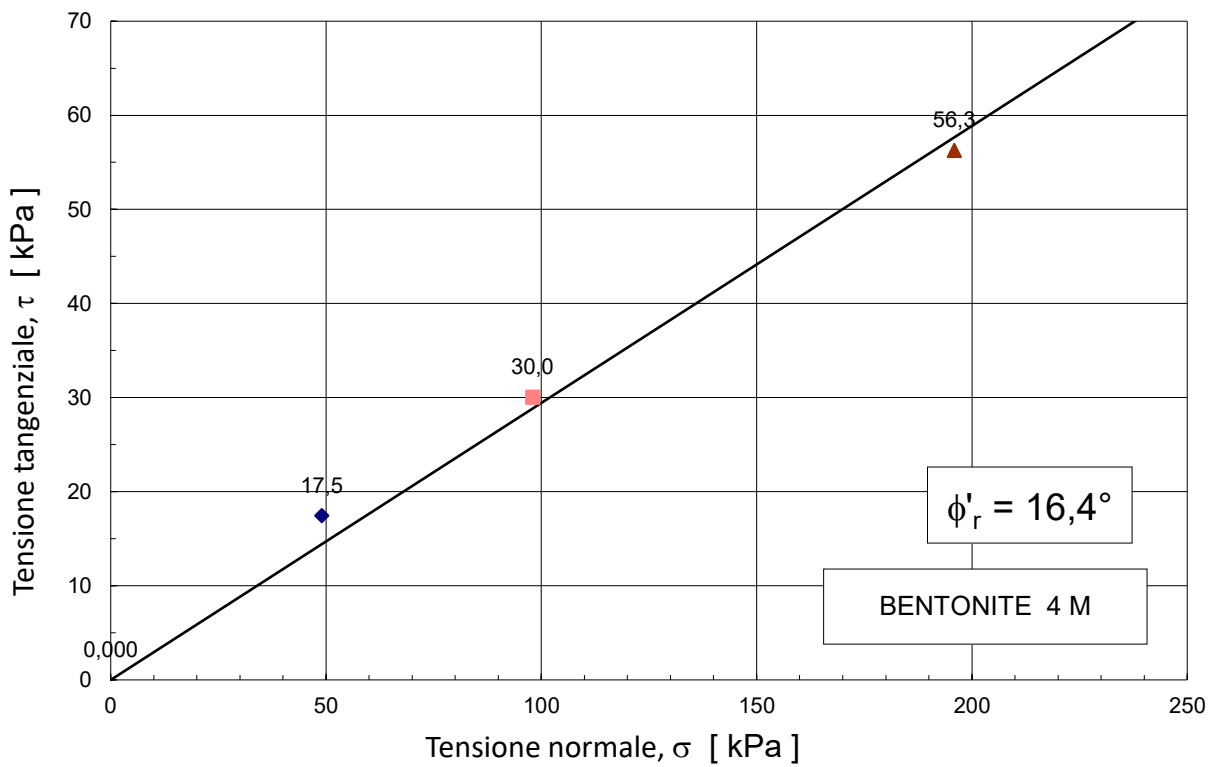


Fig. A.36 - involucro di rottura, bentonite – NaCl 4M

A.4 PROVE EDOMETRICHE

A.4.1 PROVE EDOMETRICHE ILLITE

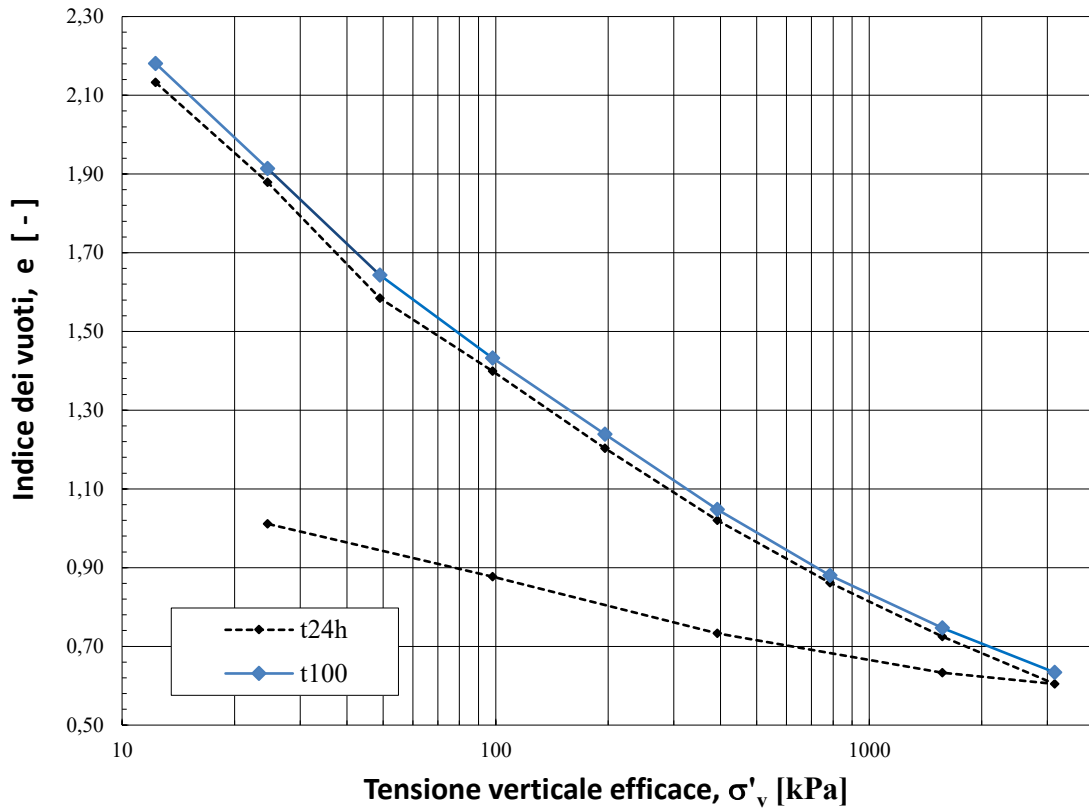


Fig. A.37 – Curva edometrica illite – acqua distillata

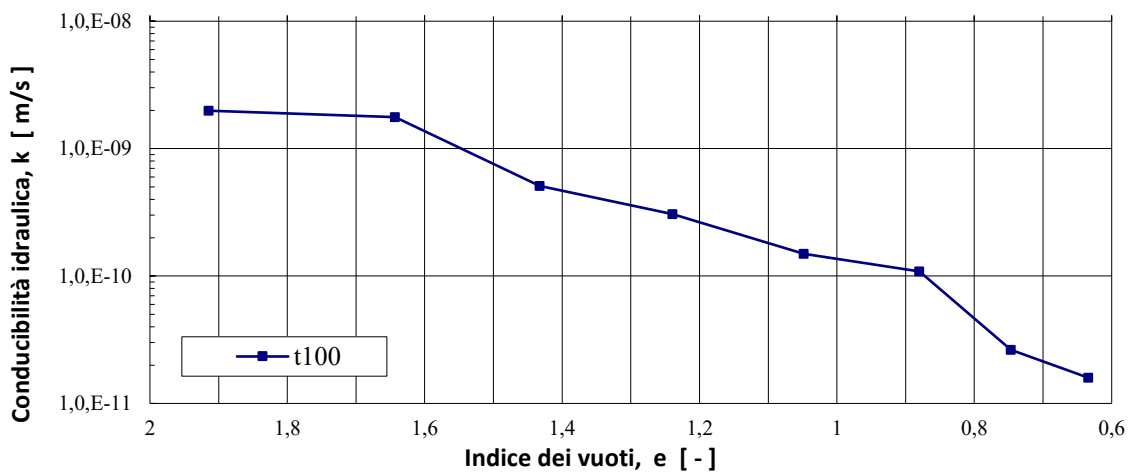


Fig. A.38 – Conducibilità idraulica in funzione dell'indice dei vuoti, illite – acqua distillata

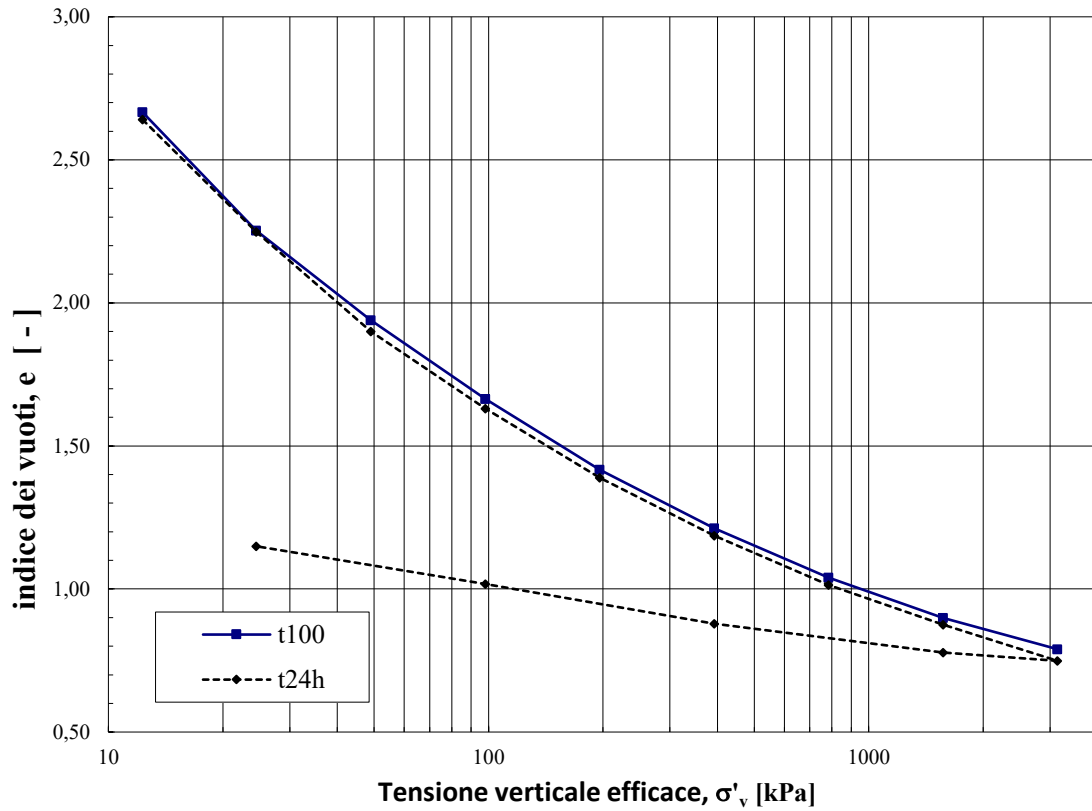


Fig. A.39 – Curva edometrica illite – NaCl 0,5M

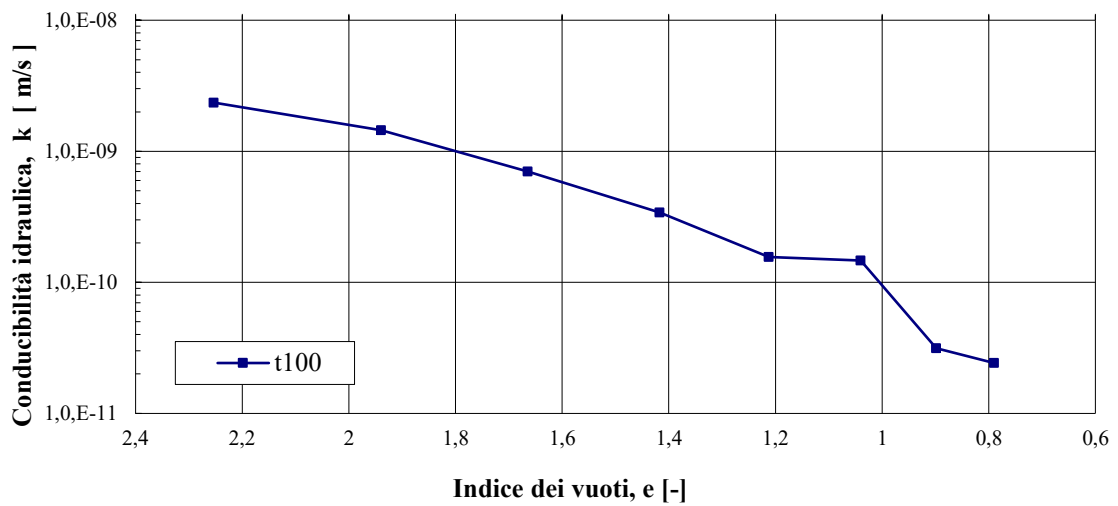


Fig. A.40 – Conducibilità idraulica in funzione dell'indice dei vuoti, illite – NaCl 0,5M

Dettagli risultati prove di laboratorio

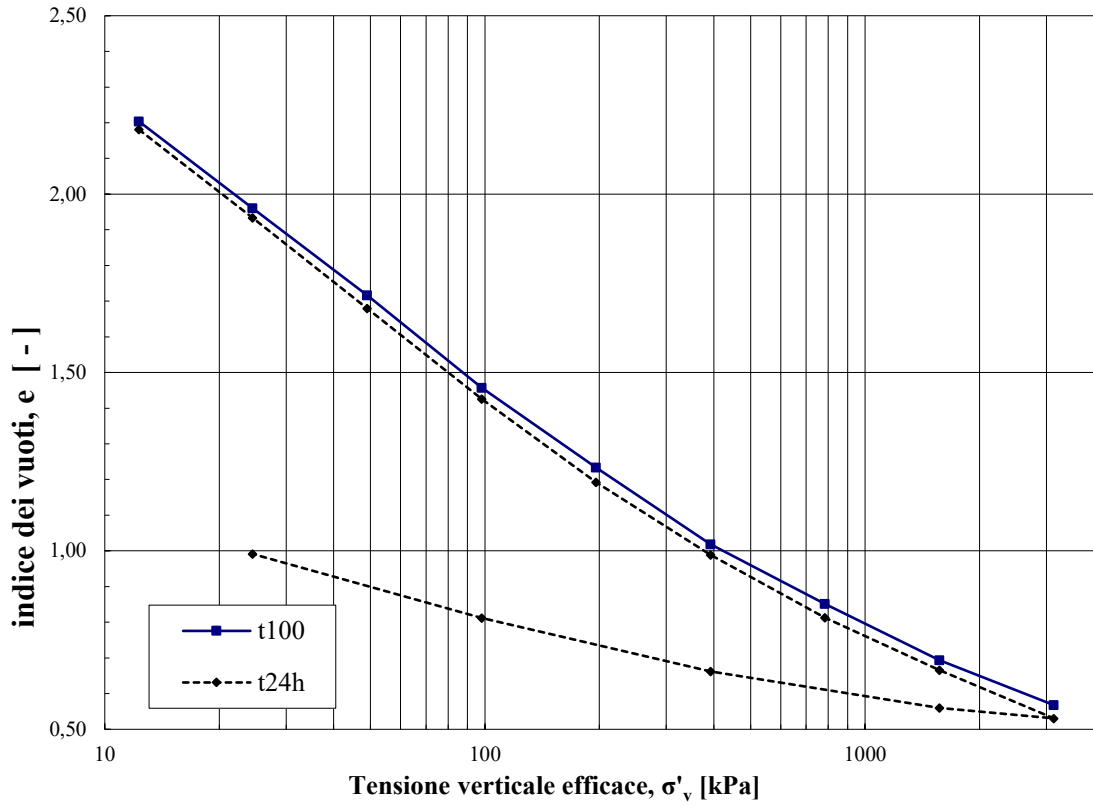


Fig. A.41 – Curva edometrica illite – NaCl 1M

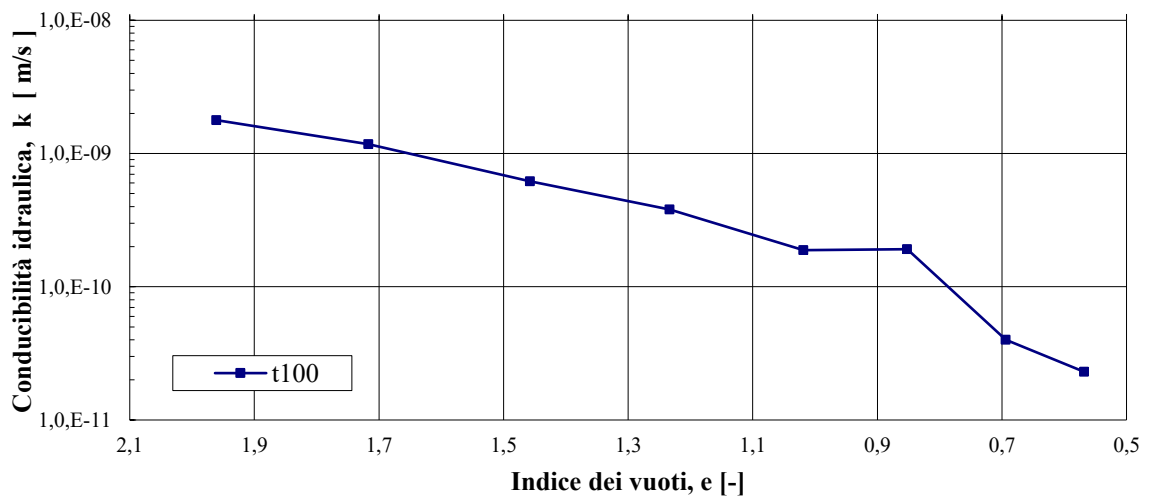


Fig. A.42 – Conducibilità idraulica in funzione dell'indice dei vuoti, illite – NaCl 1M

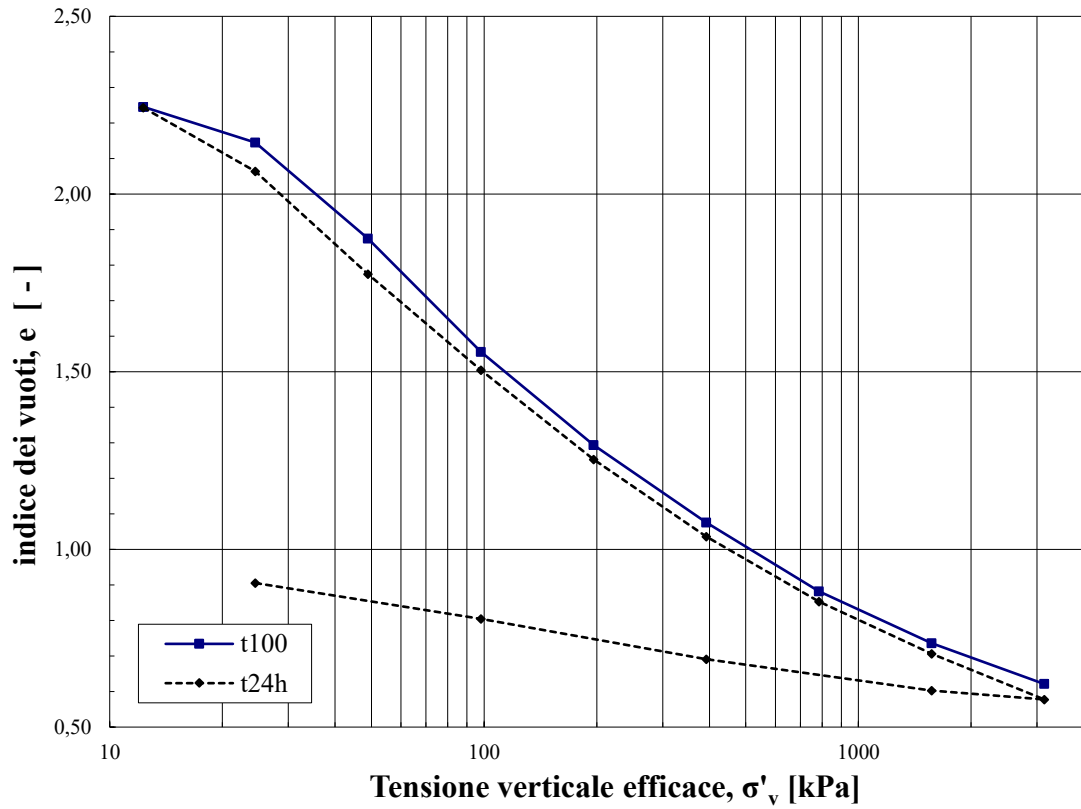


Fig. A.43 – Curva edometrica illite – NaCl 4M

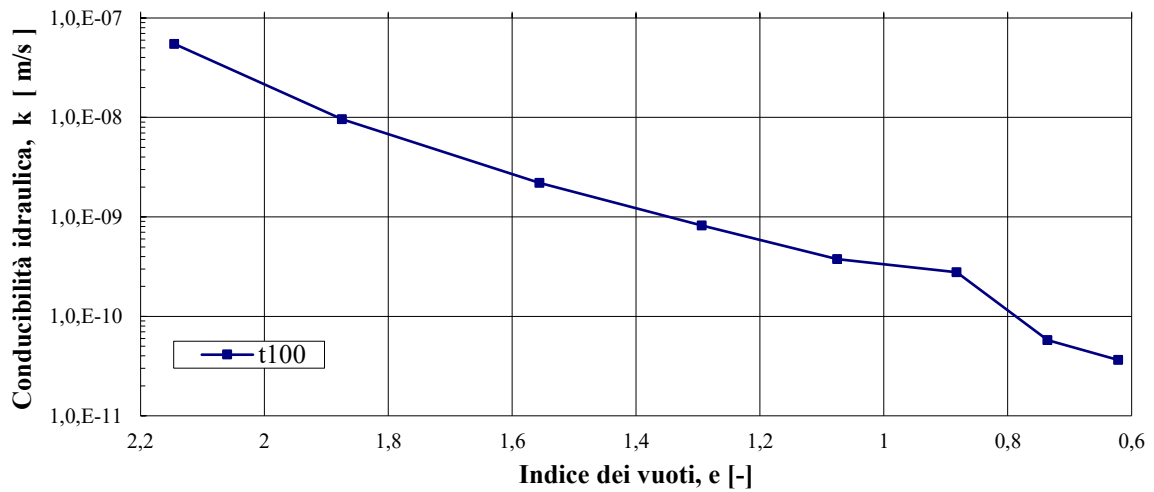


Fig. A.44 – Conducibilità idraulica in funzione dell'indice dei vuoti, illite – NaCl 4M

A.4.2 PROVE EDOMETRICHE MISCELA 75% ILLITE 25% BENTONITE

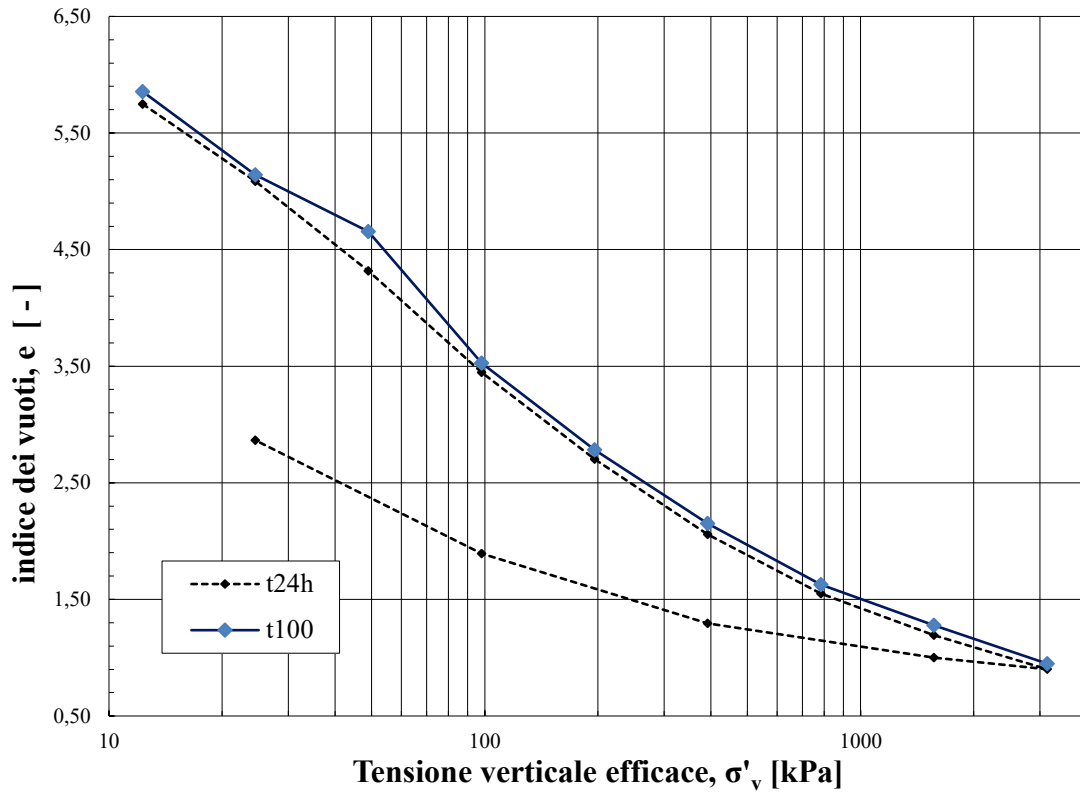


Fig. A.45 – Curva edometrica miscela 75% illite / 25% bentonite – acqua distillata

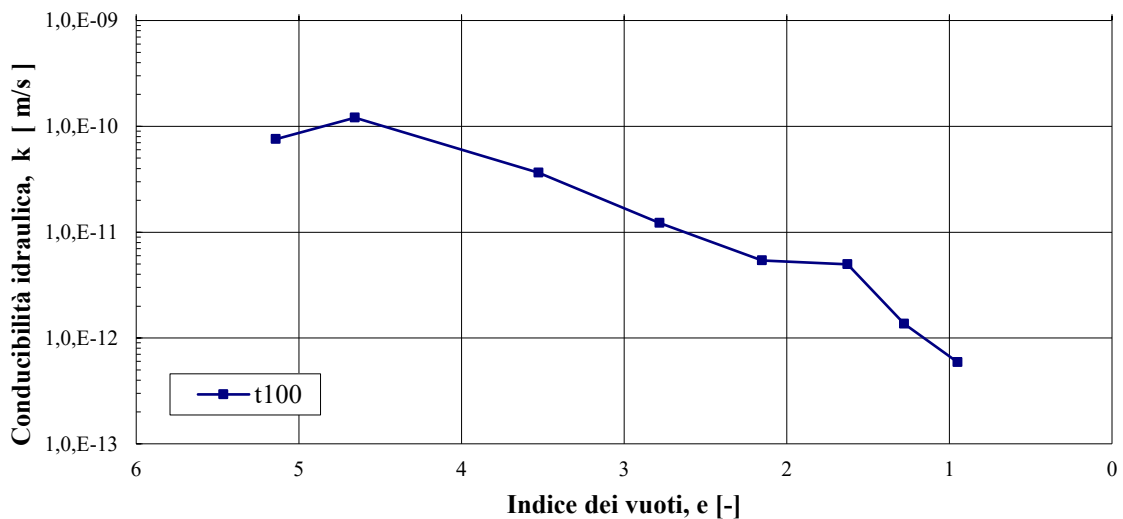


Fig. A.46 – Conducibilità idraulica in funzione dell'indice dei vuoti, miscela 75% illite / 25% bentonite – acqua distillata

Appendice

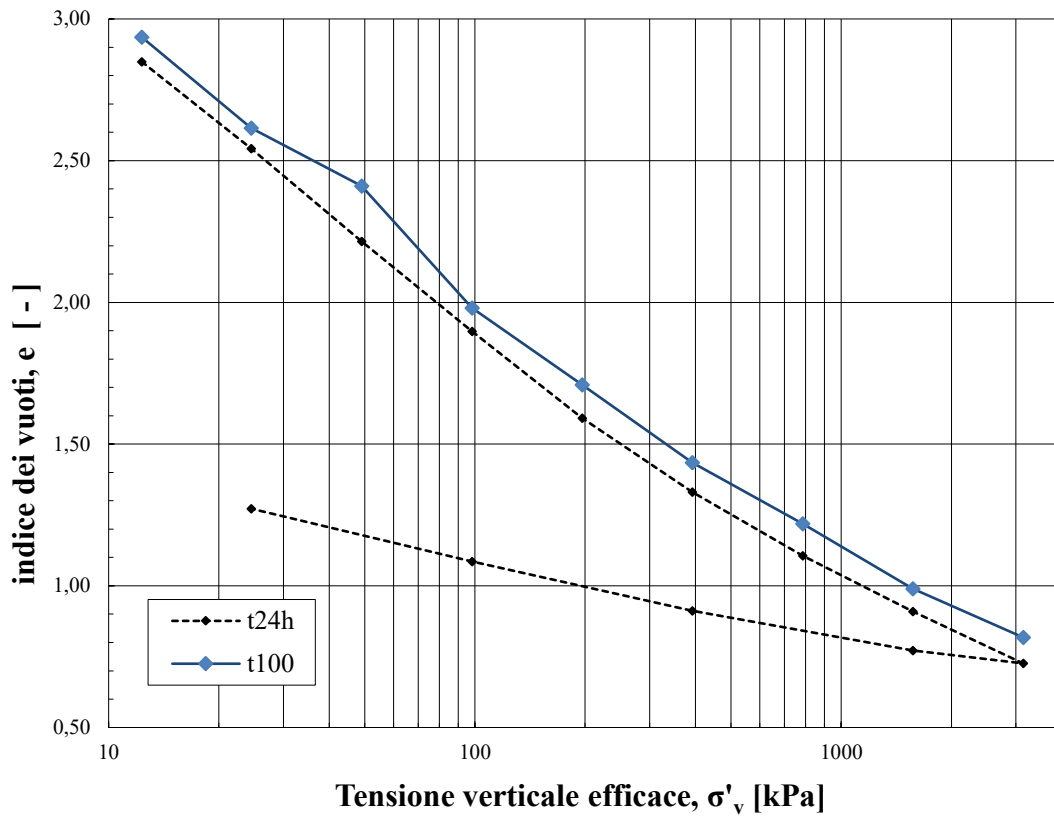


Fig. A.47 – Curva edometrica miscela 75% illite / 25% bentonite – NaCl 0,5M

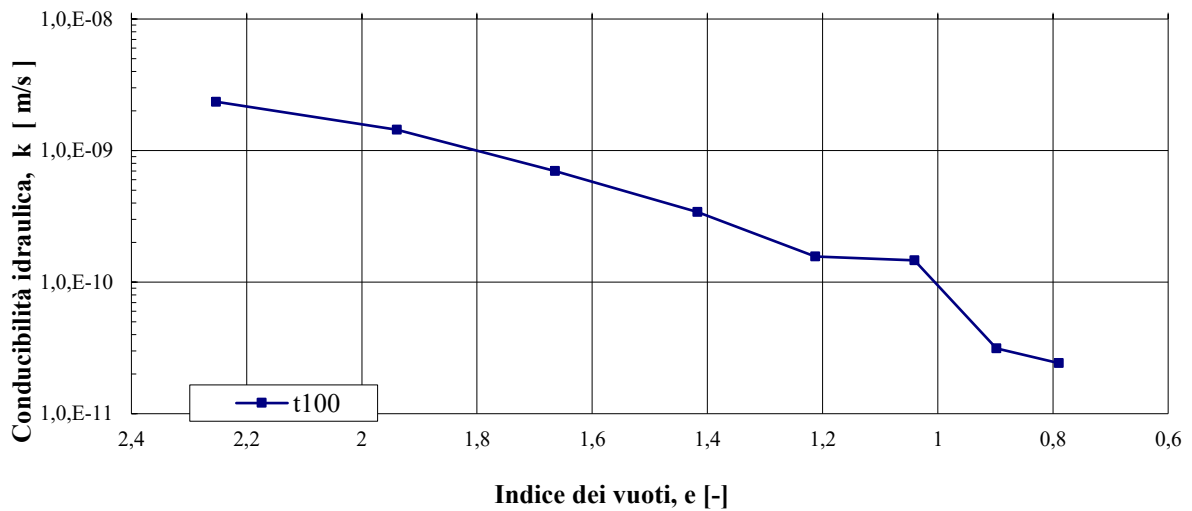


Fig. A.48 – Conducibilità idraulica in funzione dell'indice dei vuoti, miscela 75% illite / 25% bentonite – NaCl 0,5M

Dettagli risultati prove di laboratorio

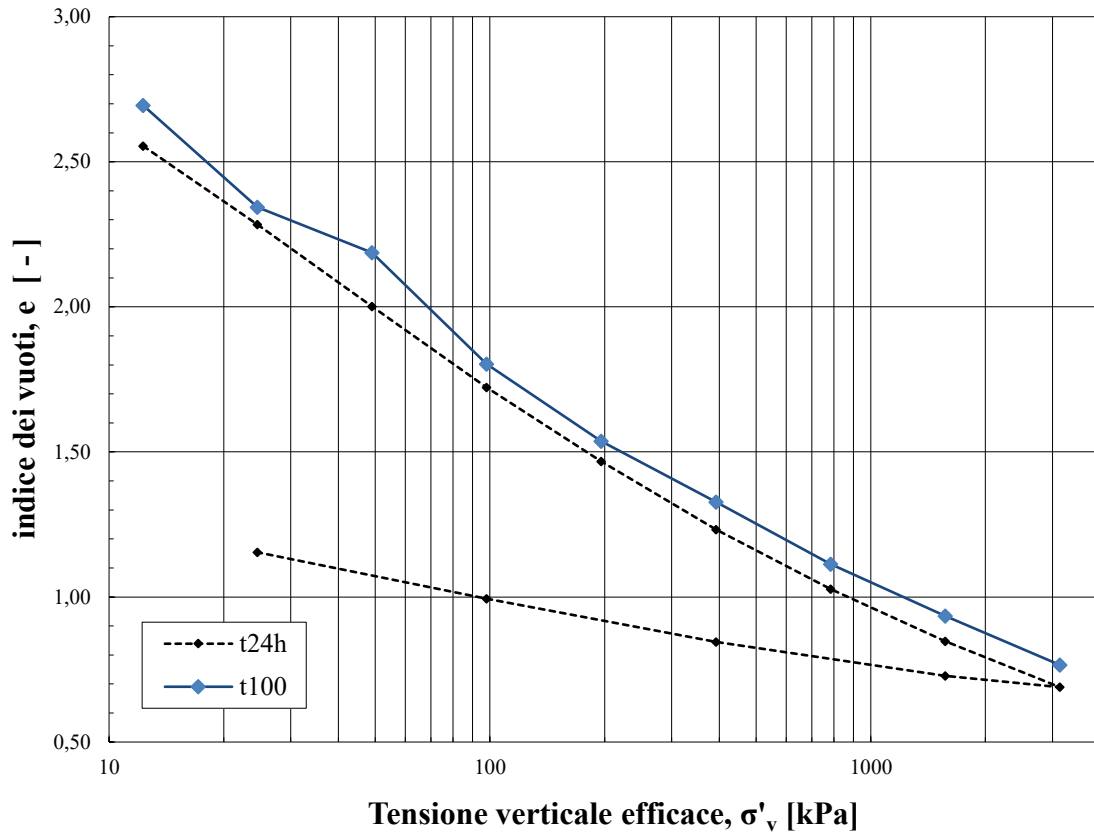


Fig. A.49 – Curva edometrica miscela 75% illite / 25% bentonite – NaCl 1M

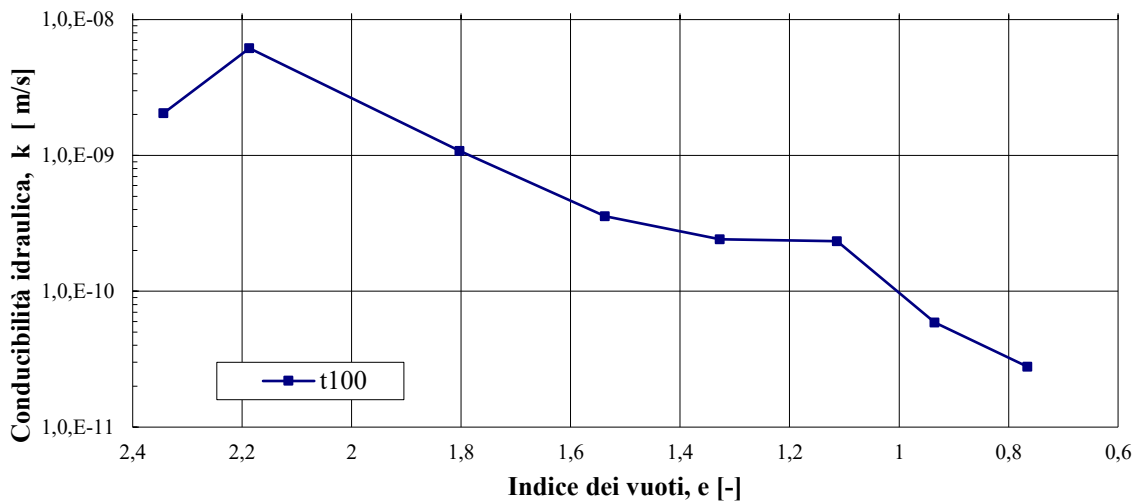


Fig. A.50 – Conducibilità idraulica in funzione dell'indice dei vuoti, miscela 75% illite / 25% bentonite – NaCl 1M

Appendice

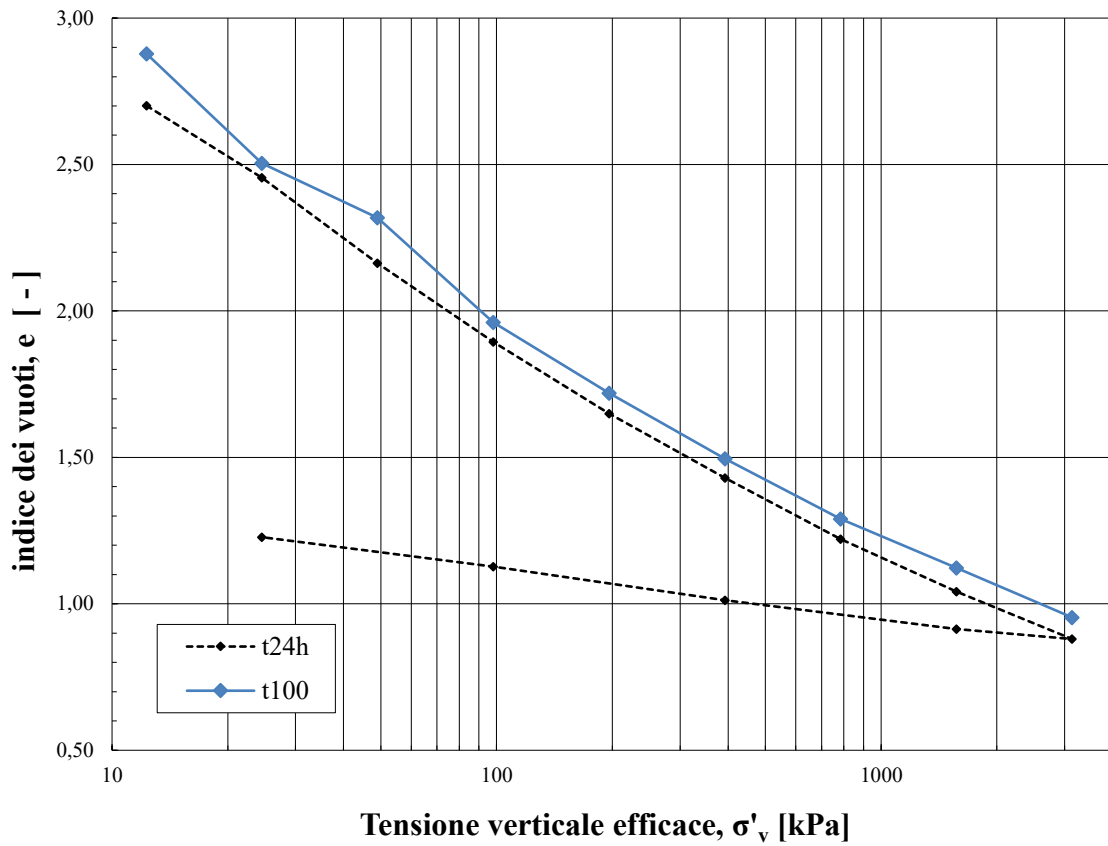


Fig. A.51 – Curva edometrica miscela 75% illite / 25% bentonite – NaCl 4M

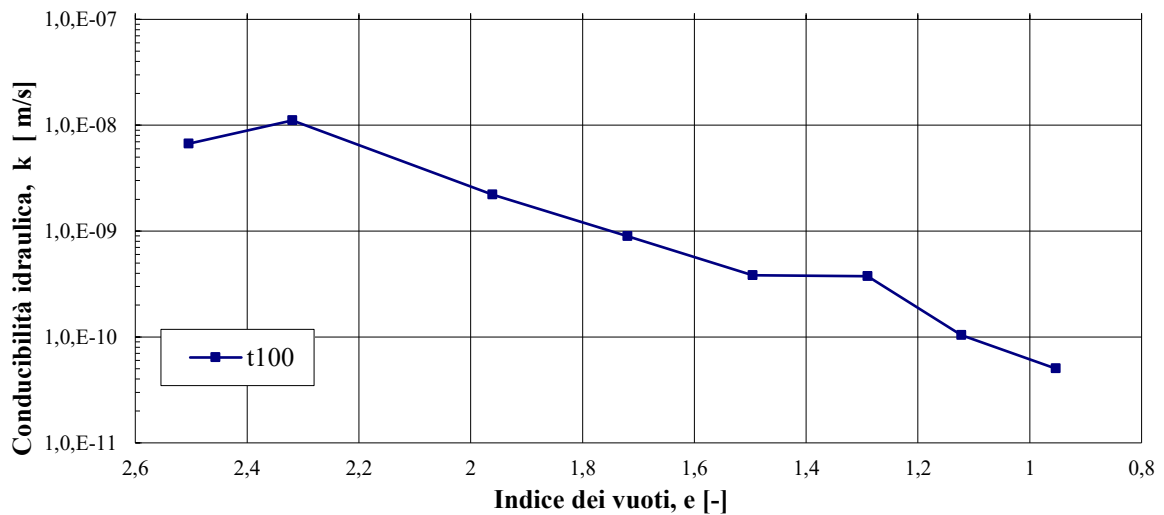


Fig. A.52 – Conducibilità idraulica in funzione dell'indice dei vuoti, miscela 75% illite / 25% bentonite – NaCl 4M

A.4.3 PROVE EDOMETRICHE MISCELA 50% ILLITE 50% BENTONITE

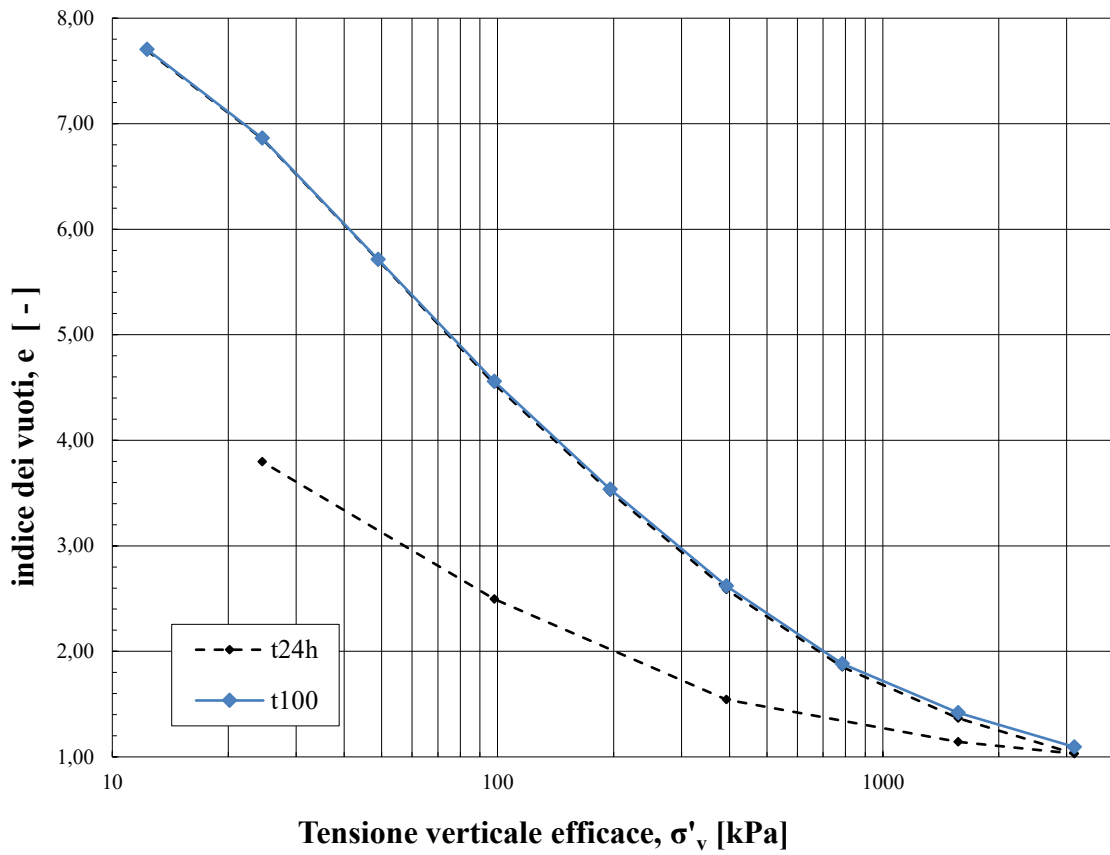


Fig. A.53 – Curva edometrica miscela 50% illite / 50% bentonite – acqua distillata

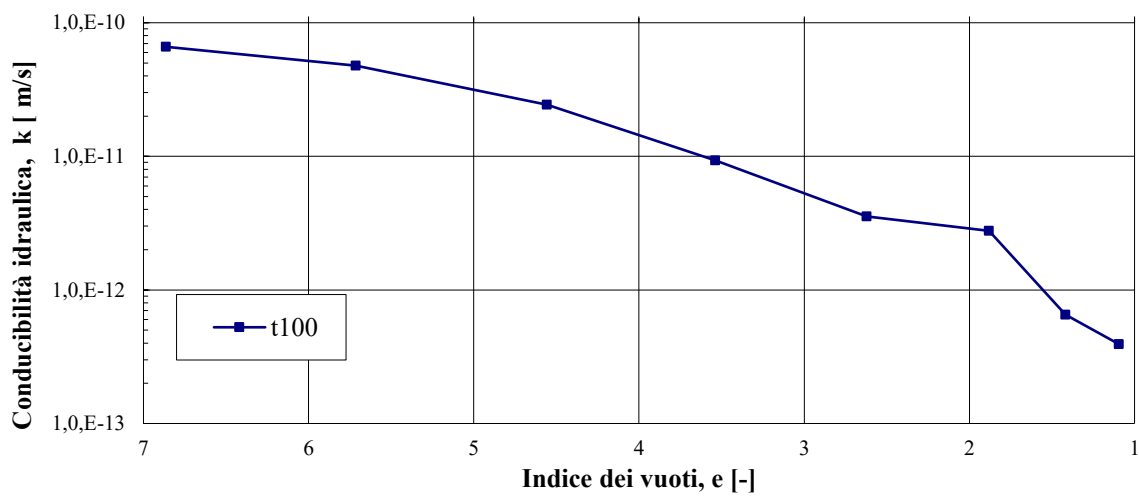


Fig. A.54 – Conducibilità idraulica in funzione dell'indice dei vuoti, miscela 50% illite / 50% bentonite – acqua distillata

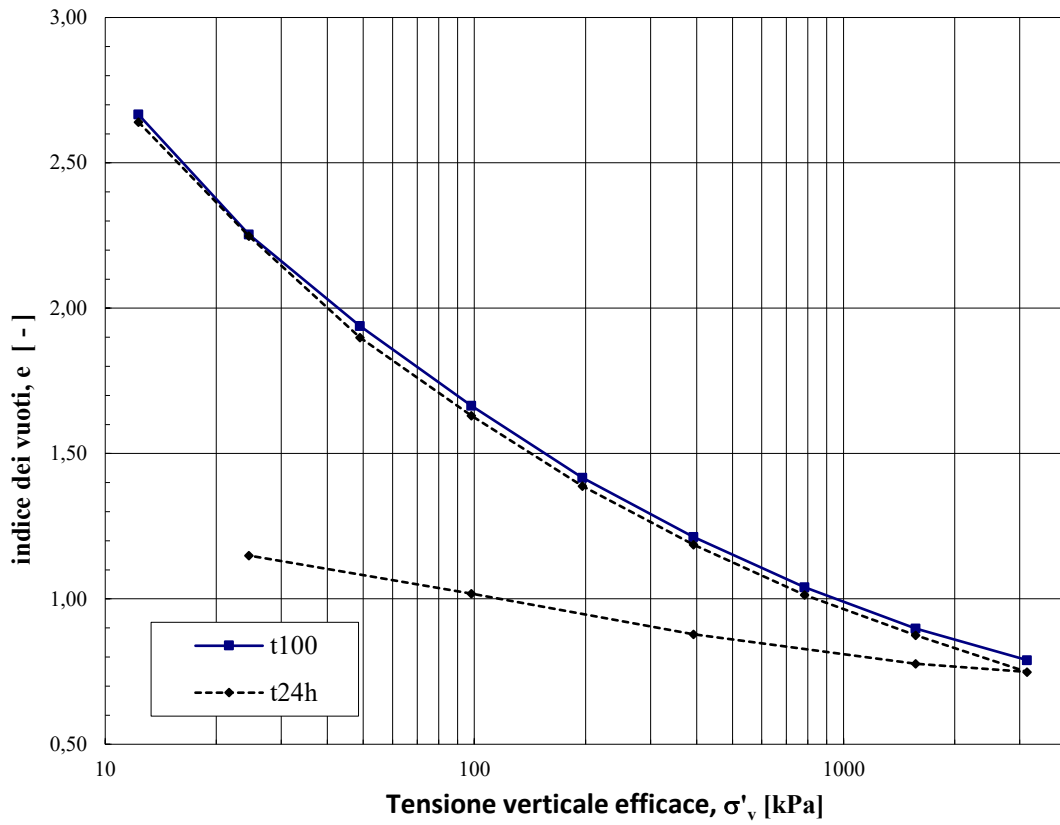


Fig. A.55 – Curva edometrica miscela 50% illite / 50% bentonite – NaCl 0,5M

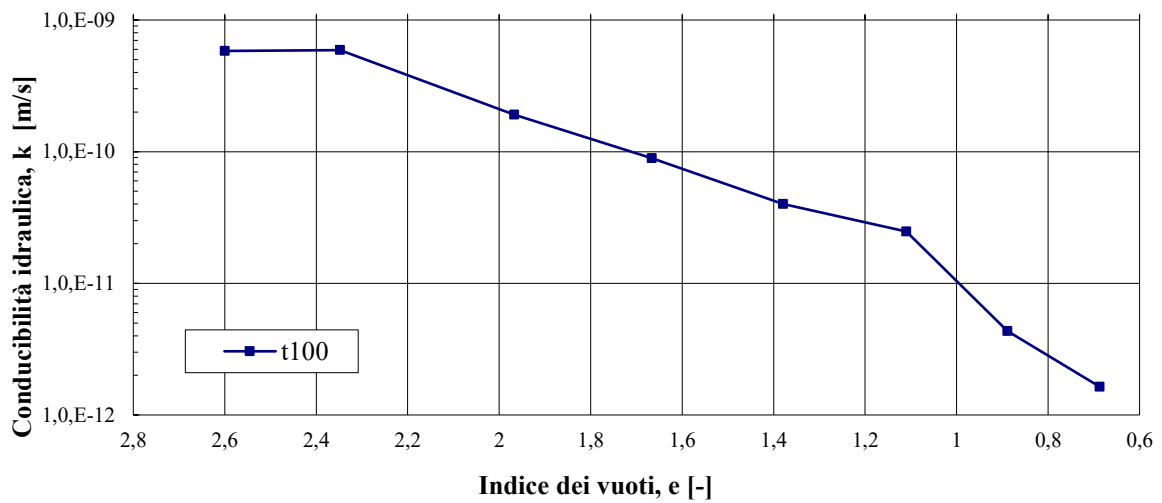


Fig. A.56 – Conducibilità idraulica in funzione dell'indice dei vuoti, miscela 50% illite / 50% bentonite – NaCl 0,5M

Dettagli risultati prove di laboratorio

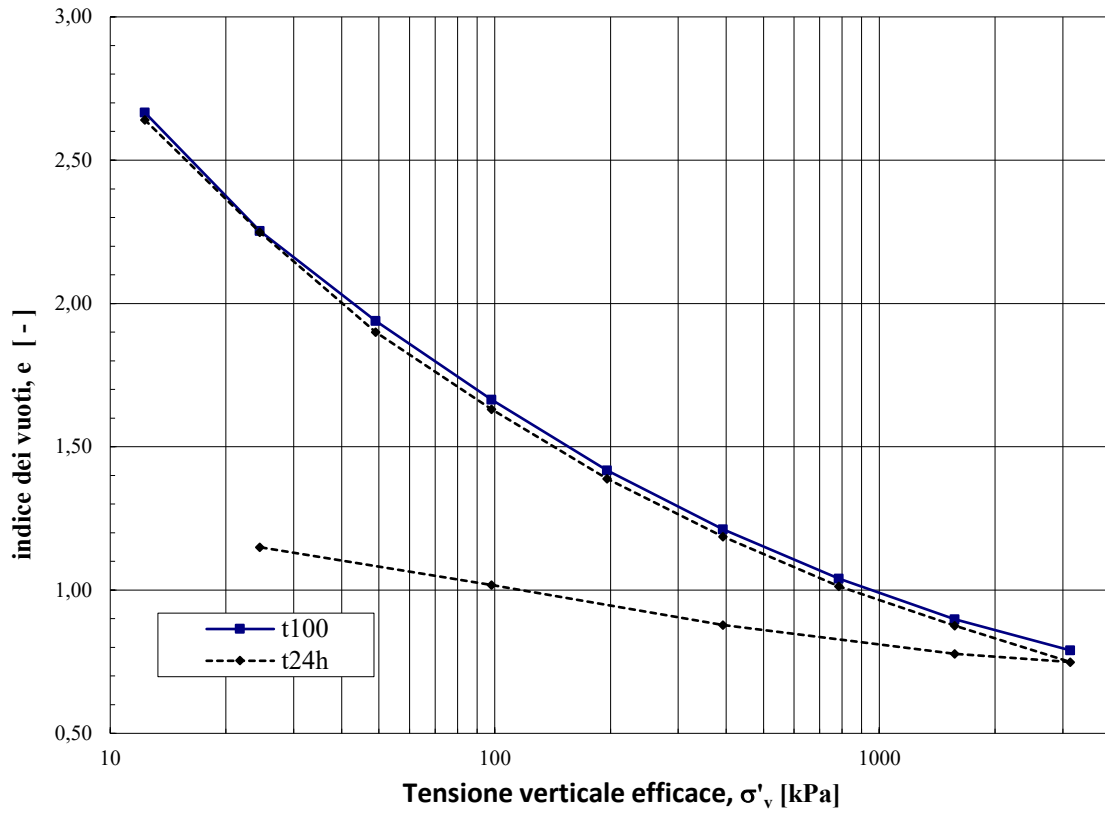


Fig. A.57 – Curva edometrica miscela 50% illite / 50% bentonite – NaCl 1M

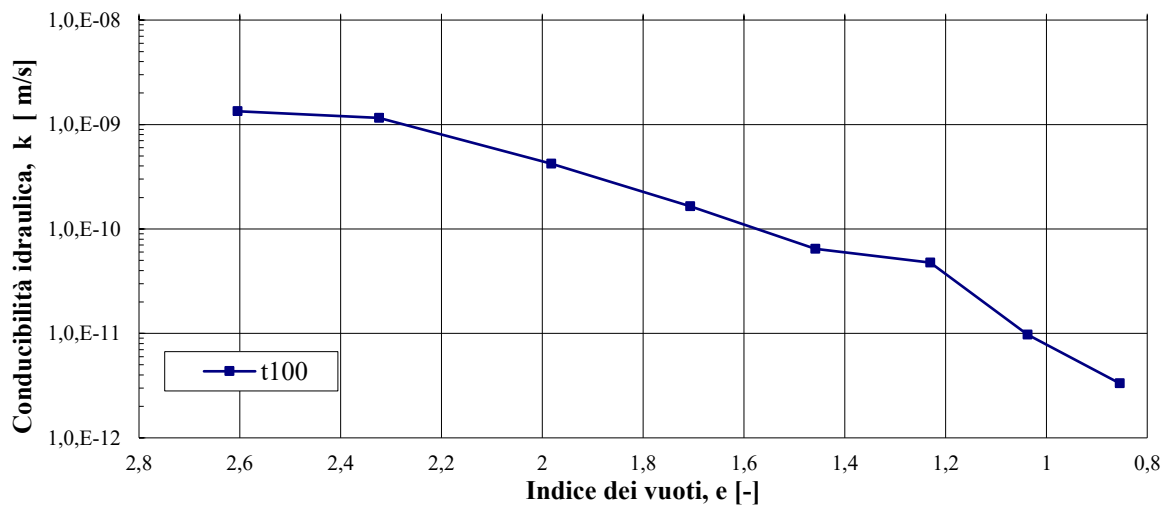


Fig. A.58 – Conducibilità idraulica in funzione dell'indice dei vuoti, miscela 50% illite / 50% bentonite – NaCl 1M

Appendice

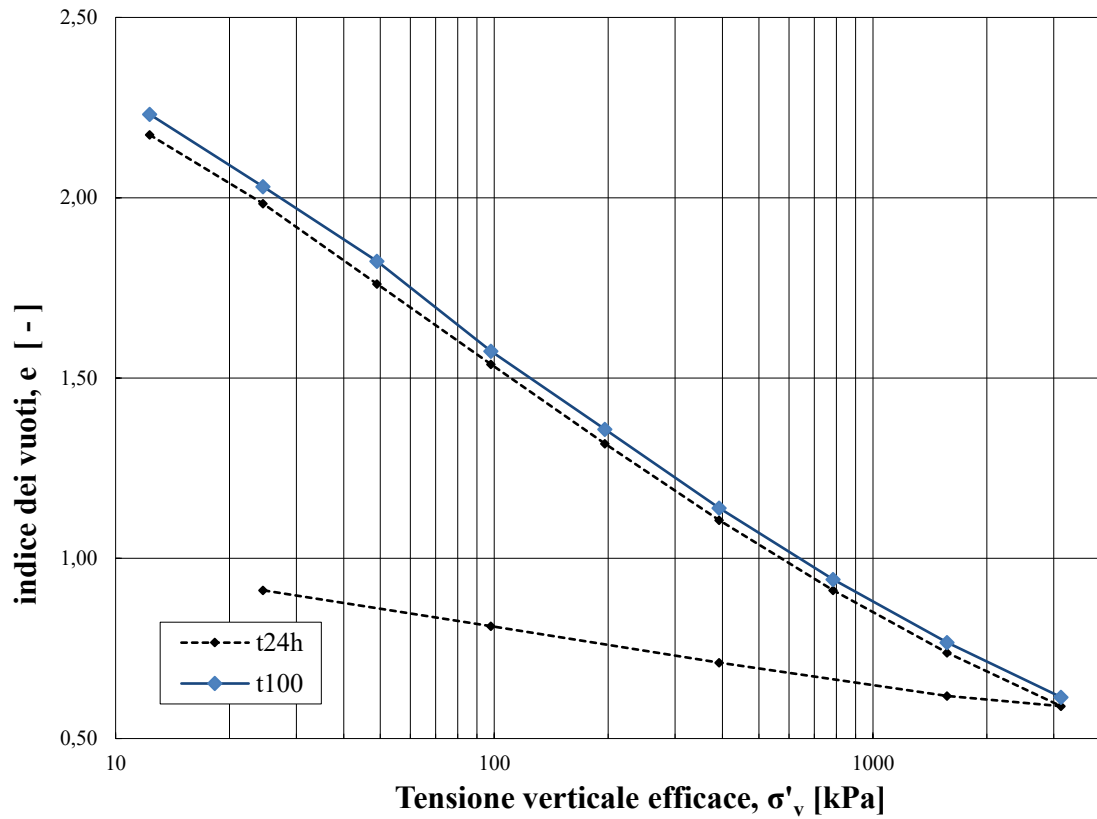


Fig. A.59 – Curva edometrica miscela 50% illite / 50% bentonite – NaCl 4M

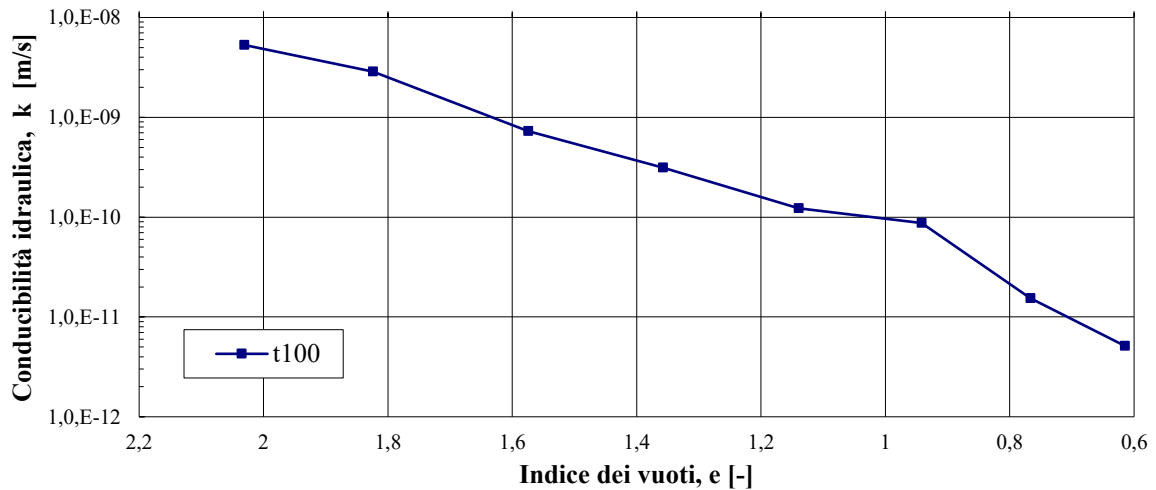


Fig. A.60 – Conducibilità idraulica in funzione dell'indice dei vuoti, miscela 50% illite / 50% bentonite – NaCl 4M

A.4.4 PROVE EDOMETRICHE MISCELA 25% ILLITE 75% BENTONITE

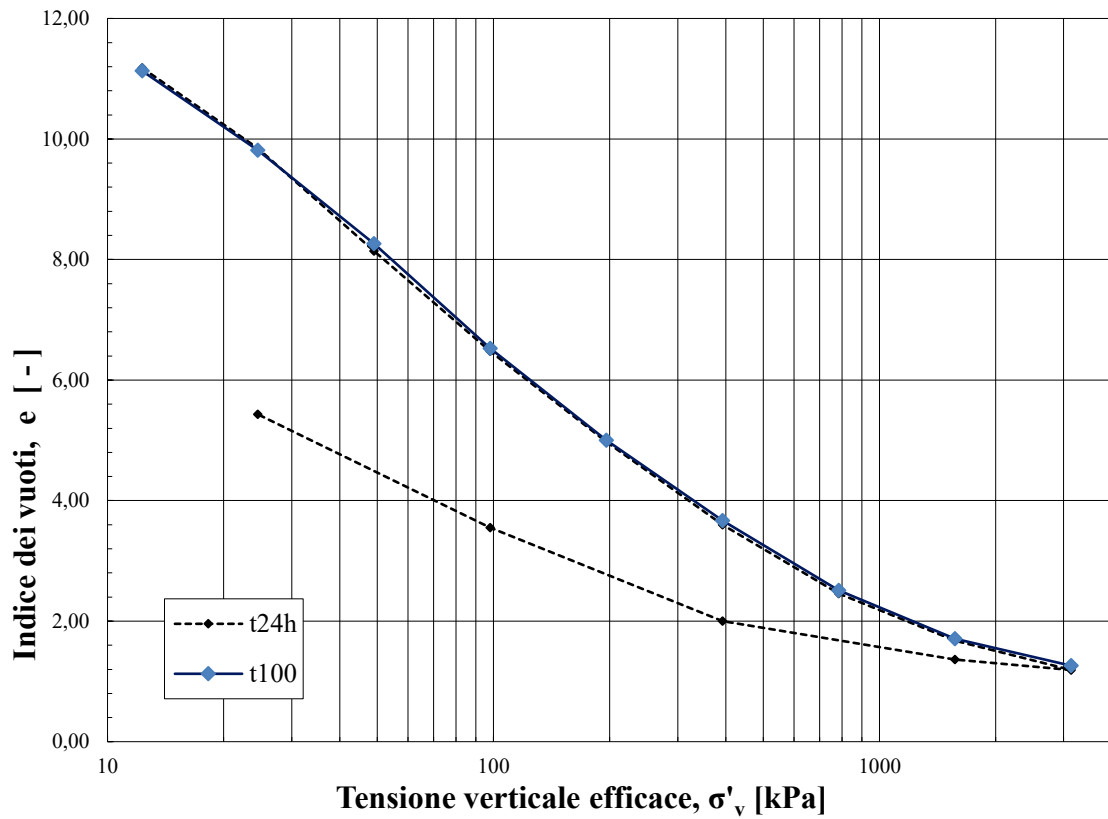


Fig. A.61 – Curva edometrica miscela 25% illite / 75% bentonite – acqua distillata

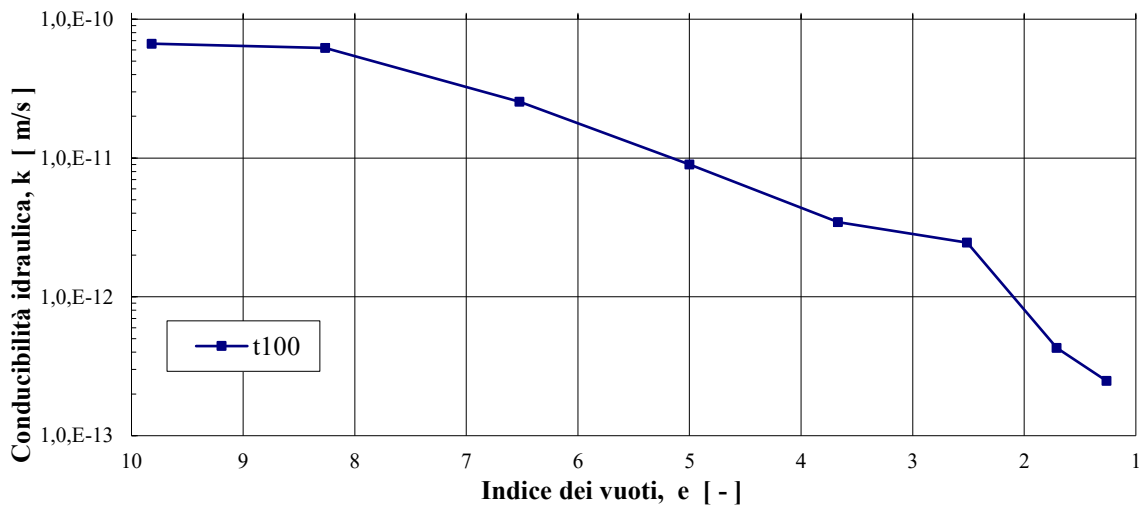


Fig. A.62 – Conducibilità idraulica in funzione dell'indice dei vuoti, miscela 25% illite / 75% bentonite – acqua distillata

Appendice

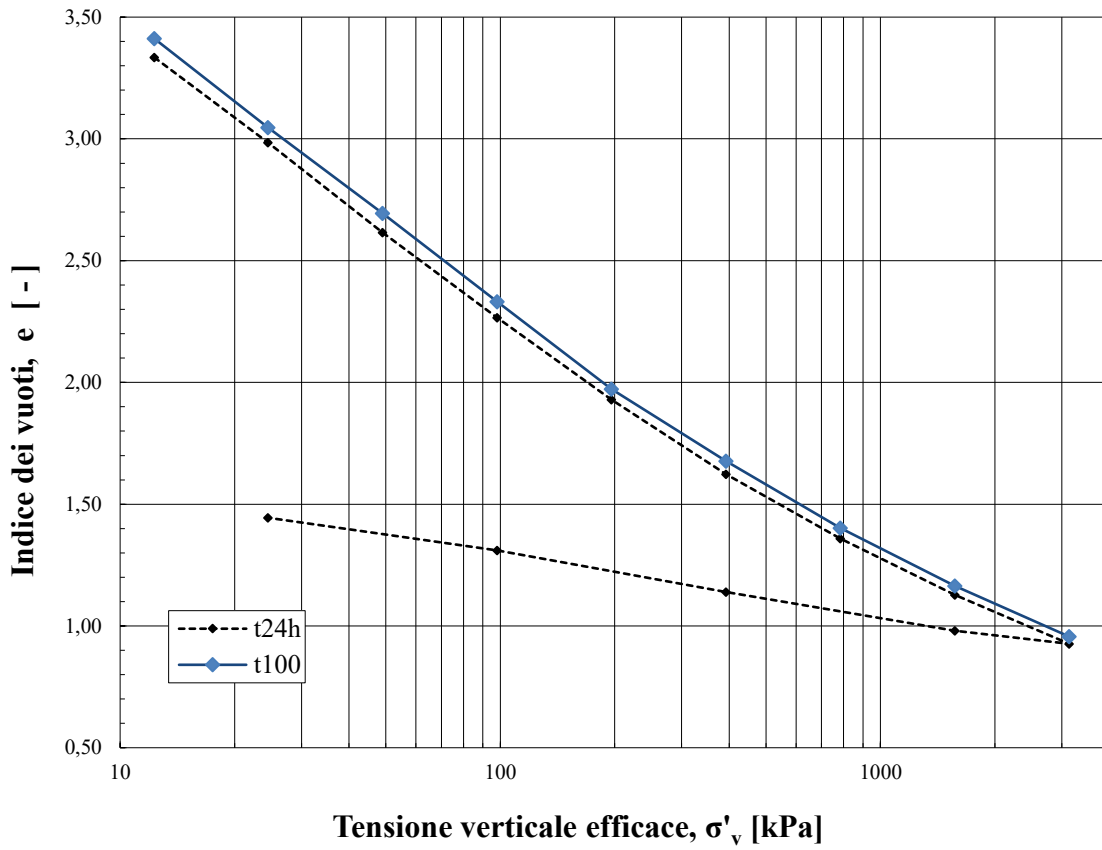


Fig. A.63 – Curva edometrica miscela 25% illite / 75% bentonite – NaCl 0,5M

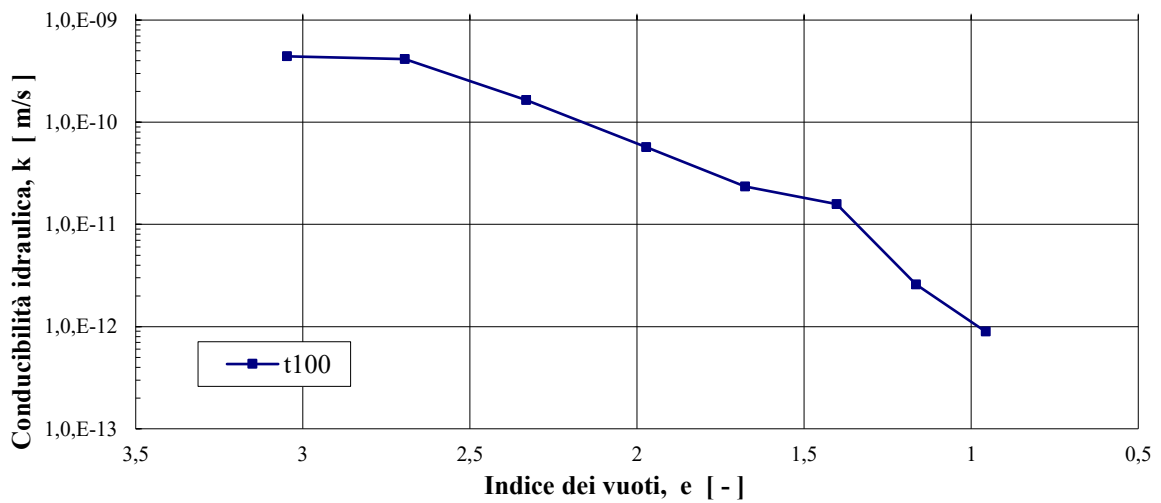


Fig. A.64 – Conducibilità idraulica in funzione dell'indice dei vuoti, miscela 25% illite / 75% bentonite – NaCl 0,5M

Dettagli risultati prove di laboratorio

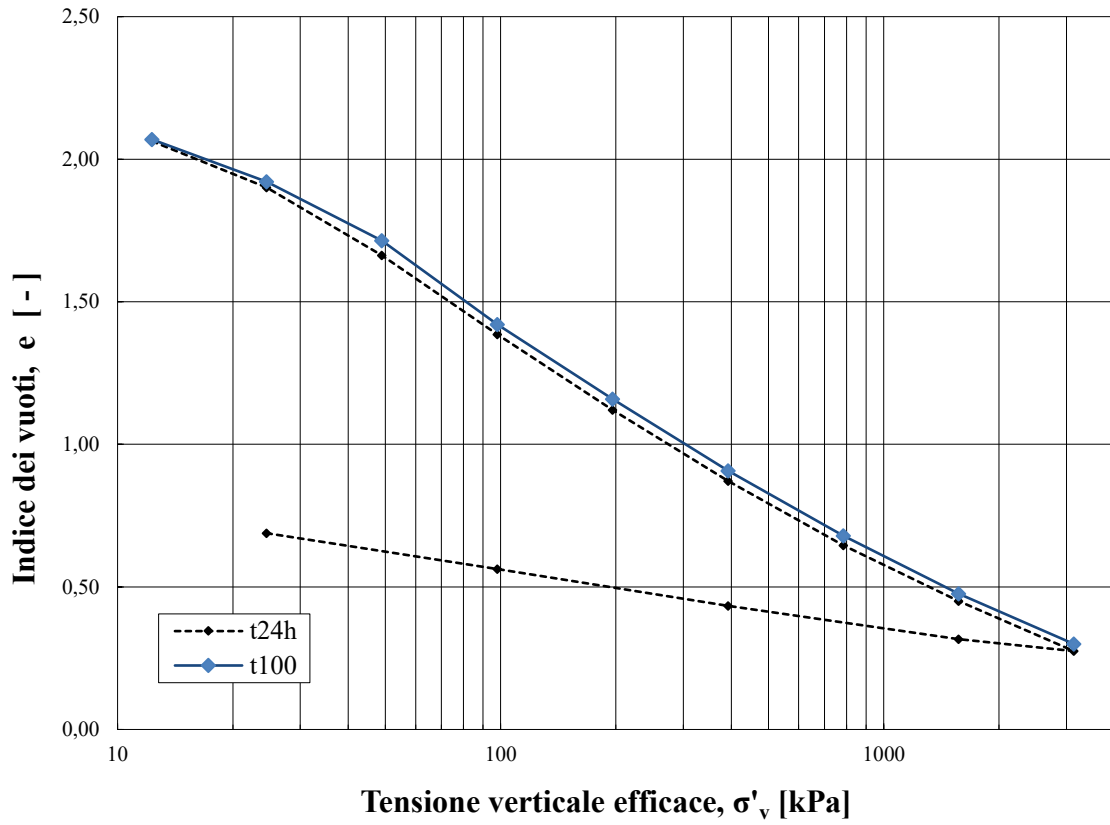


Fig. A.65 – Curva edometrica 25% illite / 75% bentonite – NaCl 1M

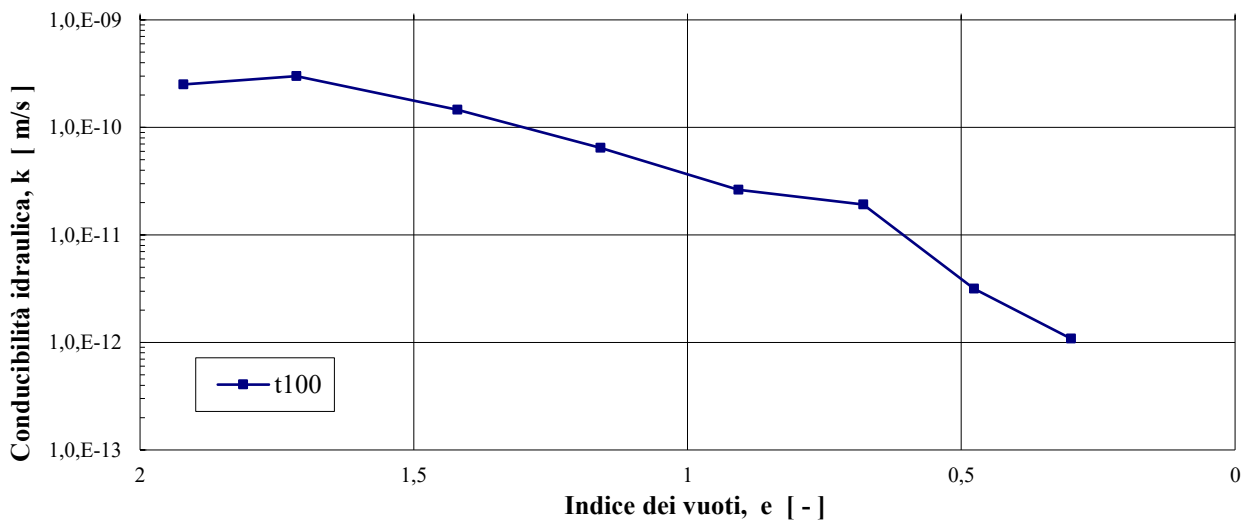


Fig. A.66 – Conducibilità idraulica in funzione dell'indice dei vuoti, miscela 25% illite / 75% bentonite – NaCl 1M

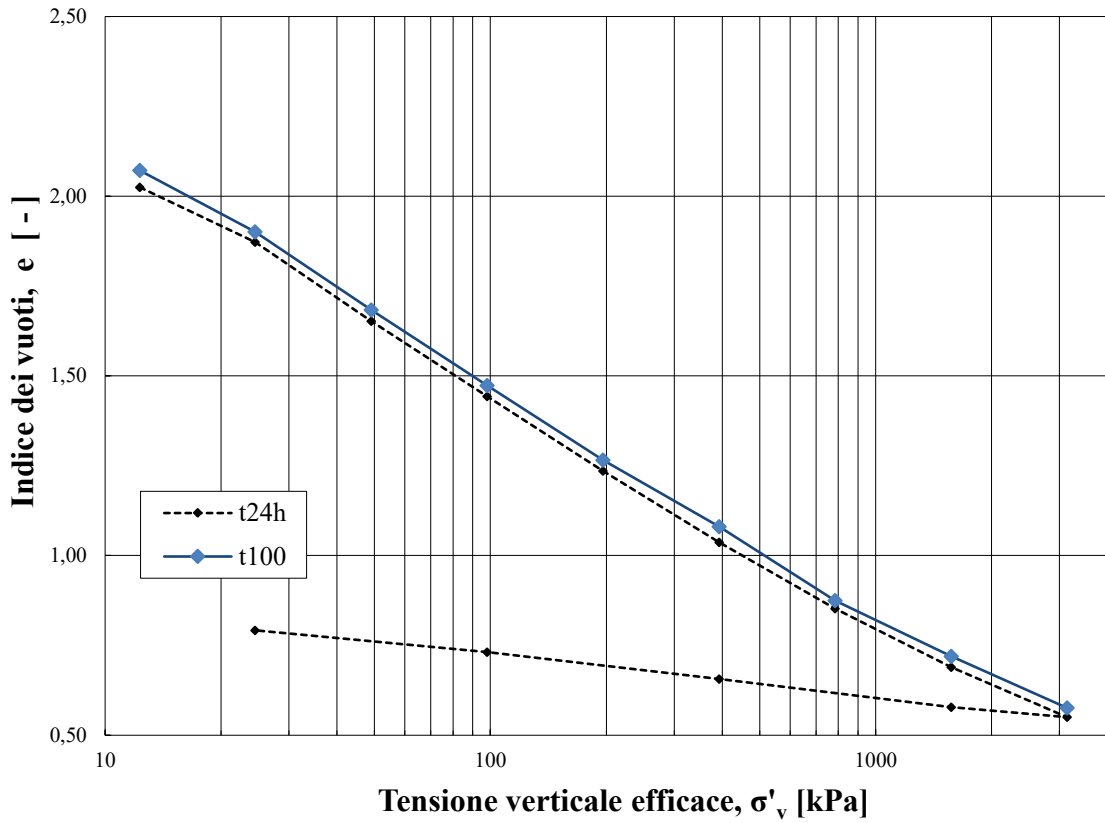


Fig. A.67 – Curva edometrica miscela 25% illite / 75% bentonite – NaCl 4M

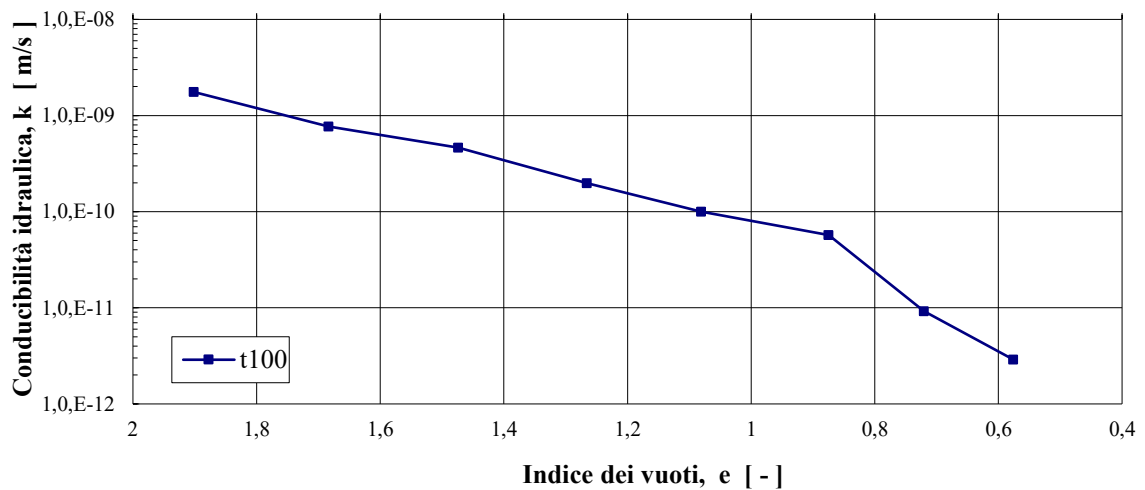


Fig. A.68 – Conducibilità idraulica in funzione dell'indice dei vuoti, miscela 25% illite / 75% bentonite – NaCl 4M

A.4.5 PROVE EDOMETRICHE BENTONITE

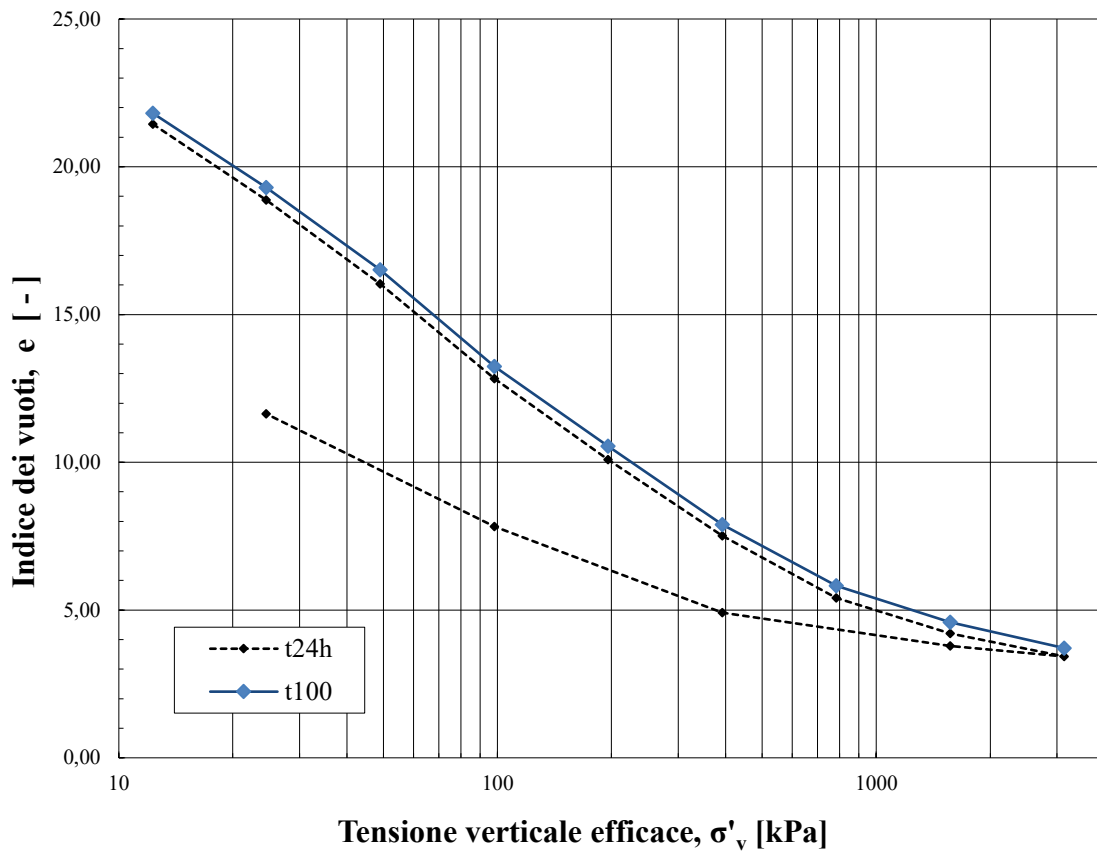


Fig. A.69 – Curva edometrica bentonite – acqua distillata

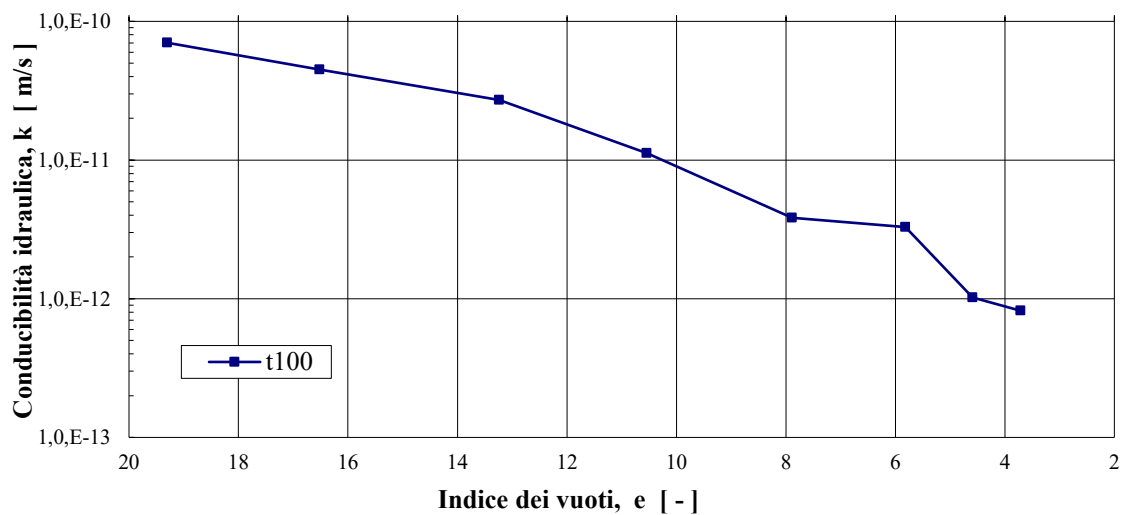


Fig. A.70 – Conducibilità idraulica in funzione dell'indice dei vuoti, bentonite – acqua distillata

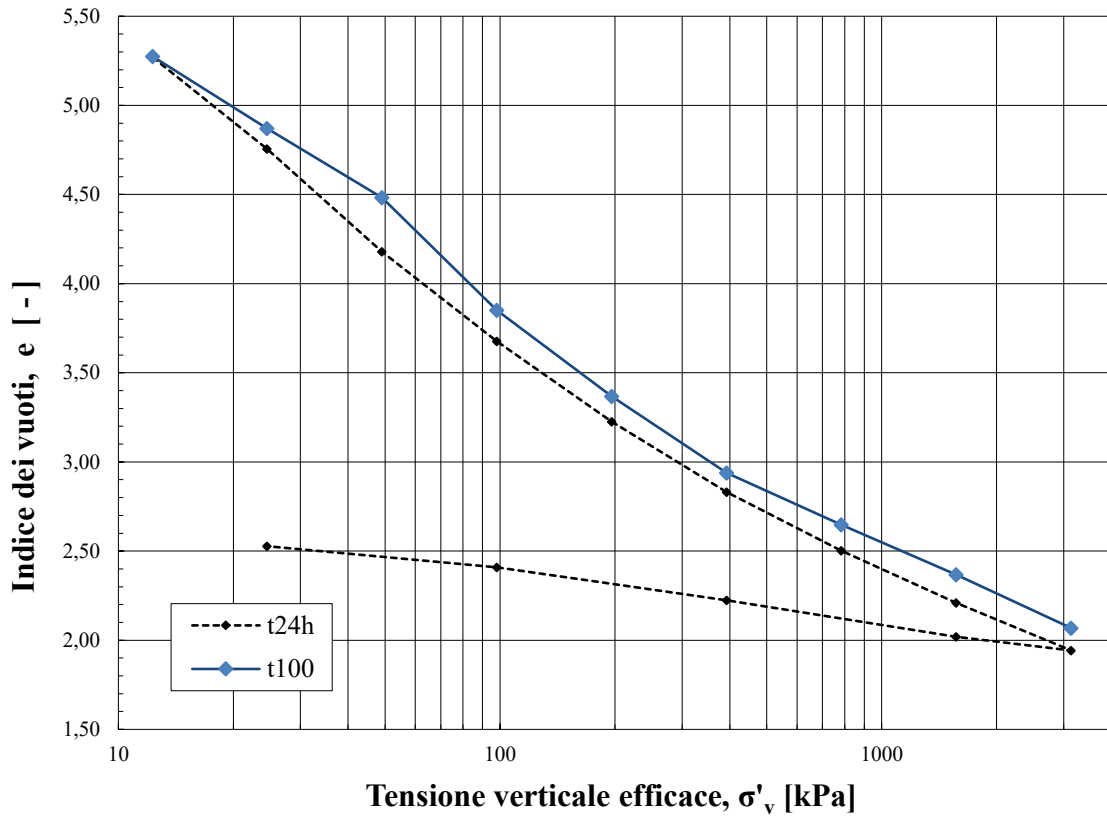


Fig. A.71 – Curva edometrica bentonite – NaCl 0,5M

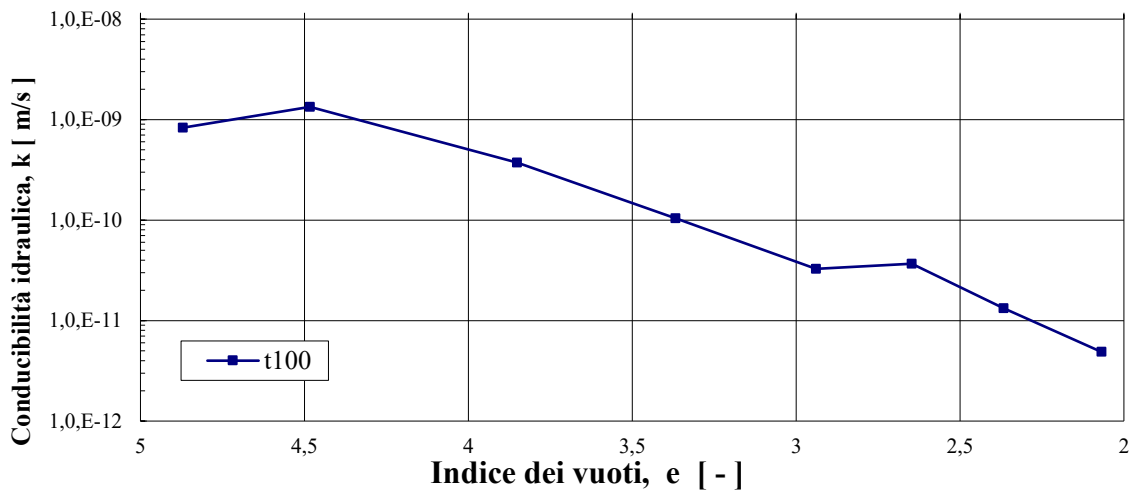


Fig. A.72 – Conducibilità idraulica in funzione dell'indice dei vuoti, bentonite – NaCl 0,5M

Dettagli risultati prove di laboratorio

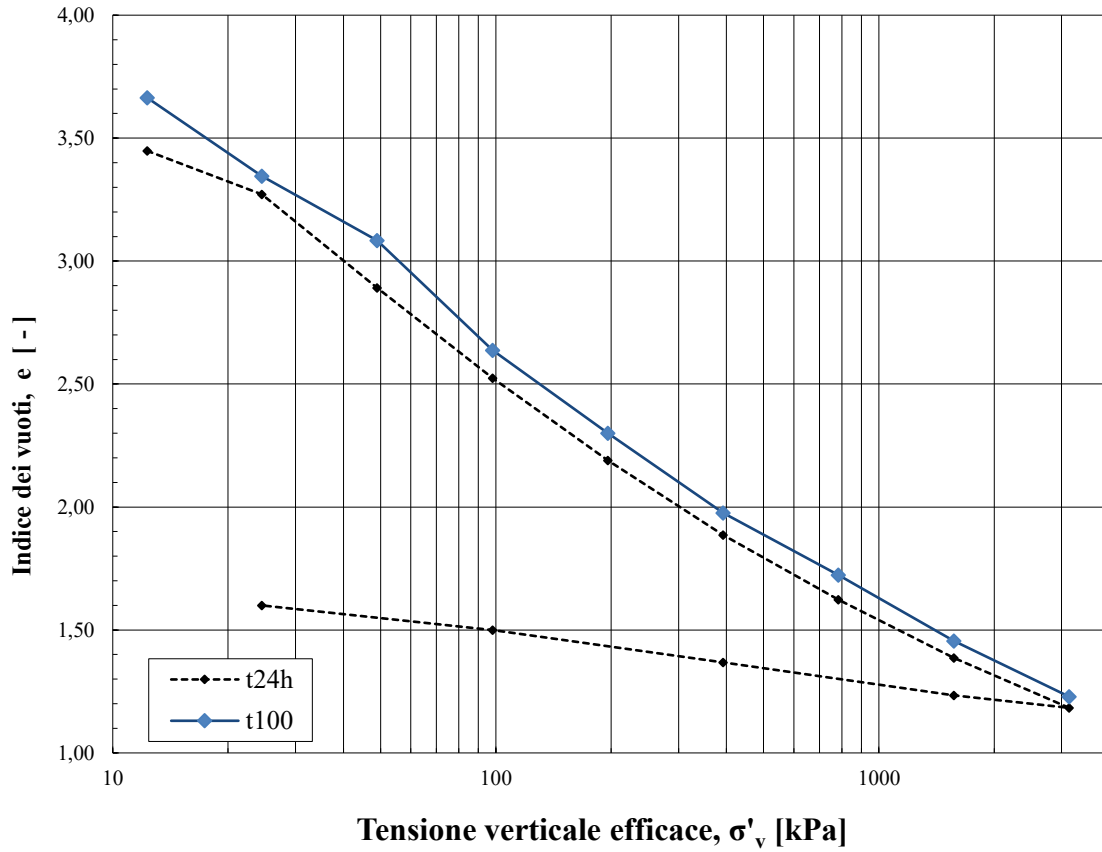


Fig. A.73 – Curva edometrica bentonite – NaCl 1M

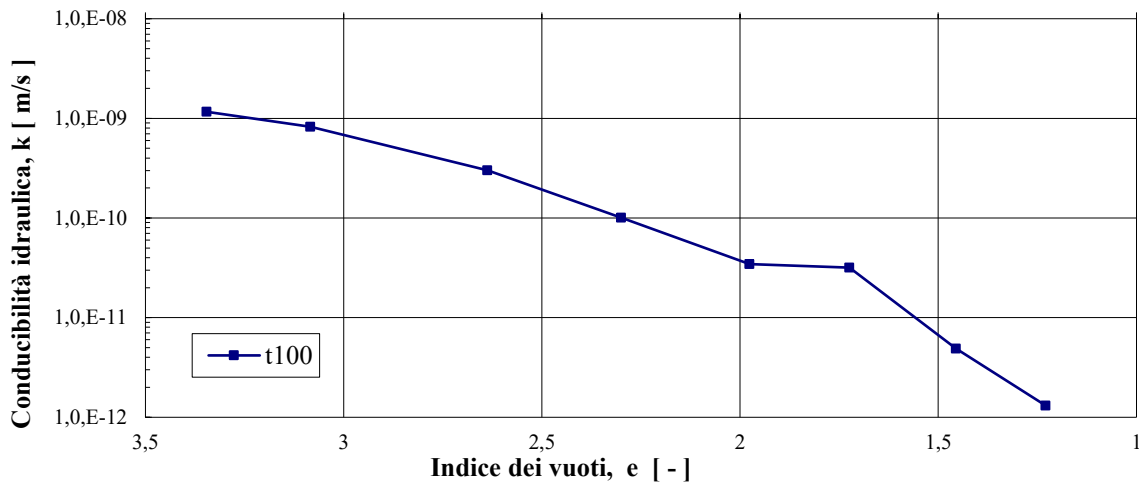


Fig. A.74 – Conducibilità idraulica in funzione dell'indice dei vuoti, bentonite – NaCl 1M

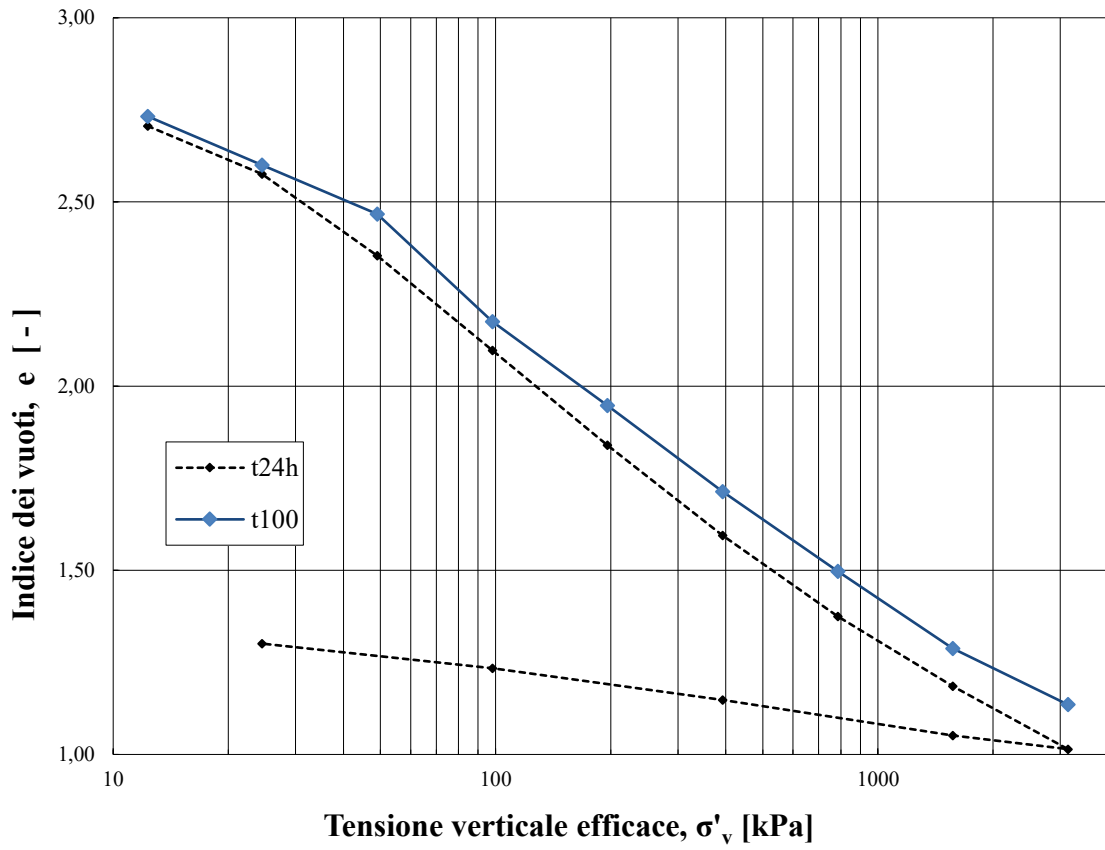


Fig. A.75 – Curva edometrica bentonite – NaCl 4M

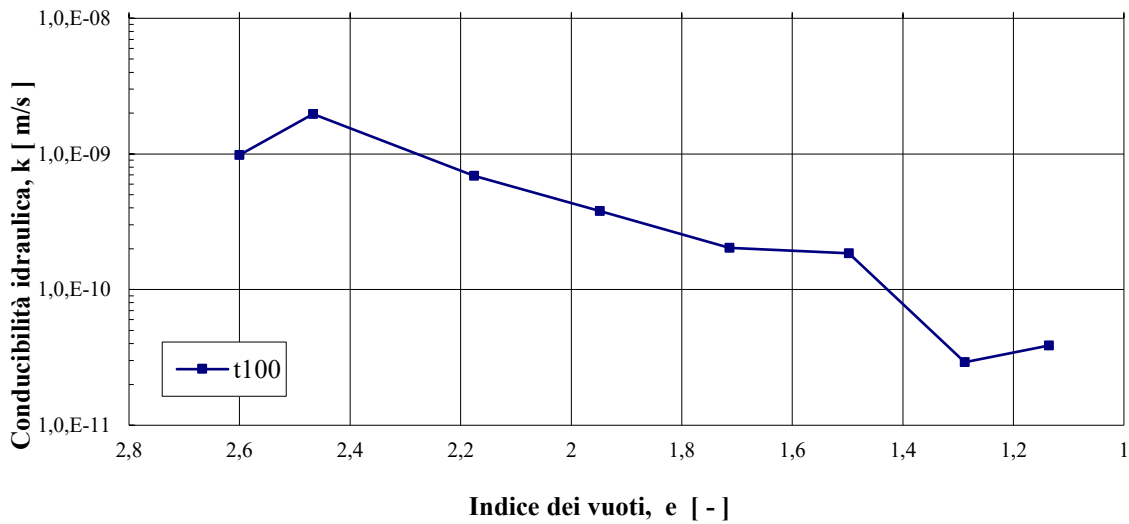


Fig. A.76 – Conducibilità idraulica in funzione dell'indice dei vuoti, bentonite – NaCl 4M